

วิธีการเตรียมวัสดุตั้งต้น สำหรับผลิตเป็นคาร์บอนที่มีรูปรูปแบบลูกฟูกขัน
ที่มีรูปร่างแบบโมโนลิทจากเส้นใยบุบเพ้งสายพันธุ์บวนกลม

ด้วยวิธีการไฮโดรไลซิสและอัดเส้นใยด้วยความร้อน

PREPARATION OF MONOLITHIC CARBON PRECURSOR WITH
HIERARCHICAL POROUS STRUCTURE FROM DRIED-LUFFA FIBER
(LUFFA CYLINDRICA) BY HYDROLYSIS AND HEAT-PRESSING METHOD

นางสาวกนกวรรณ แวงนำ

รหัส 52364834

นางสาวนิธิรัตน์ อุณวิช

รหัส 52365022

ห้องปฏิบัติการและวิภาวดีวิทยาลัยฯ

วันที่รับ..... - 5 ส.ค. 2556 /

เลขทะเบียน..... 16324009

แบบเรียบกันน้ำดื่อ..... ๙

มหาวิทยาลัยฯ เลขที่ ๑๒๖

ปริญญาในพินธ์นี้เป็นส่วนหนึ่งของการศึกษาหลักสูตรปริญญาวิศวกรรมศาสตรบัณฑิต^{๒๕๖๖}
สาขาวิชาชีวกรรมเคมี ภาควิชาชีวกรรมอุตสาหการ

คณะวิศวกรรมศาสตร์ มหาวิทยาลัยฯ เสรี

ปีการศึกษา 2555



ใบรับรองปริญญา尼พนธ์

ชื่อหัวข้อโครงการ

วิธีการเตรียมวัสดุตั้งต้น สำหรับผลิตเป็นคาร์บอนที่มีรูพรุนแบบลำดับขั้น ที่มีรูปร่างแบบไม่ในลิทจากเส้นไขบวบแห้งสายพันธุ์บวนกลม ด้วยวิธีการ ไฮโดรไลซิสและอัดเส้นโดยความร้อน

ผู้ดำเนินโครงการ

นางสาวกนกวรรณ แวงนำ รหัส 52364834

นางสาวนิธิรัตน์ อรุณวงศ์ รหัส 52365022

ที่ปรึกษาโครงการ

ดร.อิศราฐ ประเสริฐสังข์

ที่ปรึกษาร่วม

ดร.อดิศักดิ์ ไ sideways

สาขาวิชา

วิศวกรรมเคมี

ภาควิชา

วิศวกรรมอุตสาหการ

ปีการศึกษา

2555

คณะวิศวกรรมศาสตร์ มหาวิทยาลัยเรศวร อนุมัติให้ปริญญา尼พนธ์ฉบับนี้เป็นส่วนหนึ่ง ของการศึกษาตามหลักสูตรวิศวกรรมศาสตรบัณฑิต สาขาวิชาวิศวกรรมเคมี

ที่ปรึกษาโครงการ

(ดร.อิศราฐ ประเสริฐสังข์)

กรรมการ

(ดร.นพวรรณ ไม้ทอง)

กรรมการ

(ดร.กมรรัตน์ จันธรรม)

กรรมการ

(อาจารย์อาภากรณ์ จันทร์ปรักษ์)

ชื่อหัวข้อโครงการ	วิธีการเตรียมวัสดุตั้งต้น สำหรับผลิตเป็นかるบอนที่มีรูพรุนแบบลำดับขั้น ที่มีรูปร่างแบบไม่ในลิทจากเส้นใยบวนแห้งสายพันธุ์บวนกลม ด้วยวิธีการ ไฮโดรไลซิสและอัดเส้นโดยความร้อน	
ผู้ดำเนินโครงการ	นางสาวกนกรรณ แวงนำ	รหัส 52364834
	นางสาวนิธิรัตน์ อรุณวิจ	รหัส 52365022
ที่ปรึกษาโครงการ	ดร.อิศราภุช ประเสริฐสังข์	
ที่ปรึกษาร่วม	ดร.อดิศักดิ์ ไ sideways	
สาขาวิชา	วิศวกรรมเคมี	
ภาควิชา	วิศวกรรมอุตสาหการ	
ปีการศึกษา	2555	

บทคัดย่อ

โครงการวิศวกรรมเคมีนี้มีวัตถุประสงค์เพื่อศึกษาวิธีการเตรียมวัสดุตั้งต้นที่มีรูปร่างแบบไม่ในลิทจากเส้นใยบวนแห้งสายพันธุ์บวนกลมด้วยวิธีการไฮโดรไลซิสและอัดเส้นโดยความร้อน โดยตัวแปรที่ทำการศึกษาคือชนิดของสารเคมี 3 ชนิด ได้แก่ กรดซัลฟิวริก กรดฟอสฟอริก และซิงค์คลอไรด์ ความเข้มข้น 0.2 และ 0.9 ในลาร์ ใช้เวลา 120 นาที โดยหลังจากไฮโดรไลซิสจะอัดเส้นโดยความร้อนที่อุณหภูมิ 180 องศาเซลเซียส เวลา 120 นาที เพื่อตรวจสอบลักษณะทางกายภาพของแท่งโมโน-ลิท จากผลการทดลองพบว่า สารเคมีและความเข้มข้นที่ให้ผลการขึ้นรูปได้ดีที่สุด คือกรดซัลฟิวริก ความเข้มข้น 0.9 ในลาร์ โดยพบการเชื่อมติดกันของโครงสร้างหลังจากผ่านการขึ้นรูป และเมื่อวิเคราะห์เสถียรภาพทางความร้อนพบว่า ใบบวนที่ผ่านการไฮโดรไลซิสด้วยกรดซัลฟิวริก ทำให้ อุณหภูมิในการสลายตัวลดลง ซึ่งสอดคล้องกับช่วงอุณหภูมิที่ใช้ในการอัดขึ้นรูป เมื่อพิจารณาจาก โครงสร้างผลึก ซึ่งวิเคราะห์ด้วยเทคนิคเอกซ์เรย์ดิฟเฟรนเช่น พบร้าโครงสร้างผลึกของใบบวน เมื่อถูก ไฮโดรไลซิสด้วยกรดซัลฟิวริกมีความเป็นผลึกลดลง หรือมีความเป็นอสันฐานมากขึ้น ซึ่งช่วยส่งเสริมให้เกิดการเชื่อมติดกันของโครงสร้างใบบวนมากขึ้น เมื่อพิจารณาสมบัติทางเคมี พบร้าการไฮโดรไลซิส ด้วยกรดซัลฟิวริกไม่ส่งผลให้มีการเปลี่ยนแปลงองค์ประกอบทางเคมีของใบบวน

กิจกรรมประจำ

ปริญญา呢พนธบบນ สำเร็จลุล่วงได้ด้วยความช่วยเหลือ คำแนะนำและคำปรึกษาอย่างดีเยี่ง จาก อาจารย์ ดร.อิศราฐ ประเสริฐสังข์ และอาจารย์ ดร.อดิศักดิ์ ไสยาสุ ที่ปรึกษาปริญญา呢พนธบบนทั้งสองท่าน ซึ่งได้ให้ความอนุเคราะห์และคำแนะนำ คำปรึกษา วิธีการแก้ปัญหา รวมถึงข้อคิดเห็นต่างๆ ตลอดจนความดูแลเอาใจใส่อย่างดีเยี่ง ติดตามการดำเนินงานมาโดยตลอดระยะเวลาการปฏิบัติงาน ขอบขอบคุณคณาจารย์ประจำสาขาวิชาวิศวกรรมเคมี มหาวิทยาลัยนเรศวรทุกท่าน ที่ได้ให้วิชาความรู้ เพื่อนำมาประยุกต์ใช้ในการทำปริญญา呢พนธบบน

นอกจากนี้ยังต้องขอบคุณครูช่างชั้นชัย ชุลบุตร และครูช่างรมฤกษ์ แสงฟอง ที่ได้ช่วยอำนวยความสะดวกในการใช้เครื่องมือต่างๆ ในอาคารปฏิบัติการวิศวกรรมอุตสาหการ

ท้ายนี้ผู้จัดครรช่องกราบขอบพระคุณ ปิตา แมรดา ผู้ให้กำเนิดให้การดูแล อบรมสั่งสอนและให้กำลังใจด้วยดีเสมอมาตลอดการดำเนินโครงการนี้สำหรับศึกษา และสุดท้ายขอขอบคุณเพื่อนที่ค่อยช่วยเหลือให้โครงงานสำเร็จลุล่วงมาได้ด้วยดี

คณะผู้ดำเนินโครงการวิศวกรรม
นางสาวกนกวรรณ แวนนา^๑
นางสาวนิธิรัตน์ อรุณวงศ์^๒

มีนาคม 2555

สารบัญ

	หน้า
ใบรับรองปริญญาบัตร.....	ก
บทคัดย่อภาษาไทย.....	ข
กิตติกรรมประกาศ.....	ค
สารบัญ.....	ง
สารบัญตาราง.....	ด
สารบัญรูป.....	ฉ
สารบัญสัญลักษณ์และอักษรย่อ.....	ช
บทที่ 1 บทนำ	1
1.1 ความเป็นมาและความสำคัญของโครงงาน.....	1
1.2 วัตถุประสงค์ของโครงงาน.....	2
1.3 ขอบเขตการดำเนินโครงงาน.....	2
1.4 สถานที่ในการดำเนินโครงงาน	2
1.5 ระยะเวลาในการดำเนินโครงงาน	3
1.6 ขั้นตอนและแผนการดำเนินโครงงาน	3
บทที่ 2 หลักการและทฤษฎี.....	4
2.1 ทฤษฎีที่เกี่ยวข้อง.....	4
2.1.1 ขาว	4
2.1.2 ลิกโนเซลลูโลส	5
2.1.3 เซลลูโลส	6
2.1.4 เอมิเซลลูโลส	6
2.1.5 ลิกนิน	7
2.1.6 รูปทรงโมโนลิท	8
2.1.7 กระบวนการไฮโดรไลซิส	8
2.1.8 วัสดุที่มีรูพรุนแบบลำดับขั้น	9
2.1.9 ร้อยละความเป็นผลึก.....	10
2.1.10 การทดสอบด้วยน้ำ.....	11

สารบัญ (ต่อ)

	หน้า
2.2 การสำรวจเอกสารงานวิจัย	11
2.2.1 วิธีการเตรียมวัสดุตั้งต้นและควรบันทึกไว้พูนแบบลำดับขั้น.....	11
2.2.2 การใช้เครื่องมือวัดวัสดุเชิงมวล	13
 บทที่ 3 วิธีดำเนินโครงการ.....	 16
3.1 วัตถุประสงค์และสารเคมี.....	16
3.1.1 วัตถุประสงค์.....	16
3.1.2 สารเคมีที่ใช้ในการทดลอง	16
3.2 วิธีดำเนินการทดลอง	16
3.2.1 ขั้นตอนการเตรียมและทำความสะอาดเส้นใย	17
3.2.2 ขั้นตอนการใช้เครื่องมือวัดวัดวัสดุเชิงมวล	17
3.2.3 ขั้นตอนการอัดเส้นใยด้วยความร้อน	18
3.3 วิธีการตรวจดูคุณลักษณะ	19
 บทที่ 4 ผลการทดลองและวิเคราะห์	 20
4.1 ผลของสารเคมีและความเข้มข้นที่มีผลต่อการขึ้นรูป	20
4.2 การวิเคราะห์คุณสมบัติทางความร้อน.....	21
4.3 เทคนิคเอกซ์เรย์ดิฟแฟร์กชัน	26
4.4 การวิเคราะห์สมบัติทางด้านเคมีด้วยเทคนิค FTIR	28
 บทที่ 5 บทสรุปและข้อเสนอแนะ	 30
5.1 บทสรุป	30
5.2 ข้อเสนอแนะ	30
 เอกสารอ้างอิง	 31
ภาคผนวก ก	34

สารบัญตาราง

ตารางที่	หน้า
1.1 ขั้นตอนและแผนการดำเนินโครงการ.....	3
3.1 สารเคมีที่ใช้ในการทดลอง.....	16
4.1 แสดงค่าร้อยละความเป็นผลลัพธ์ของเซลลูโลส ในผงเซลลูโลสบริสุทธิ์และผงเซลลูโลสที่ไฮโดรไลซิสด้วยกรดซัลฟิวริกความเข้มข้น 0.9 มोลาร์.....	26
4.2 แสดงค่าร้อยละความเป็นผลลัพธ์ของเซลลูโลส ในไขบวบและไขบวบที่ไฮโดรไลซิสด้วยกรดซัลฟิวริกความเข้มข้น 0.9 มोลาร์.....	27



สารบัญรูป

รูปที่	หน้า
2.1 (ก) ขาวเหลี่ยม	5
2.1 (ข) ขาว	5
2.1 (ค) ขาวอมหรือขาวกลม	5
2.2 การจัดเรียงของเซลลูโลส เอมิเซลลูโลส และลิกนินในผนังเซลล์พืช	5
2.3 โครงสร้างไม้เล็กๆของเซลลูโลส	6
2.4 โครงสร้างไม้เล็กๆของเอมิเซลลูโลส	6
2.5 โครงสร้างไม้เล็กๆของลิกนิน	7
2.6 รูปทรงโนโนลิต	8
2.7 การเกิดปฏิกิริยาไออกไซด์ด้วยกรดที่เกิดกับไม้เล็กๆเซลลูโลส	9
2.8 ลักษณะของรูพรุนสำดับขั้น	10
2.9 แสดงรูปแบบความเป็นผลึกและความเป็นอ่อนหักของเซลลูโลส	17
3.1 (ก) ใบขาวแห้งที่ยังไม่ได้ตัดแกนออก	17
3.1 (ข) ใบขาวแห้งด้านนอกและแกนด้านใน	17
3.1 (ค) ใบขาวแห้งตัดเป็นวงกลมเส้นผ่านศูนย์กลาง 2 เซนติเมตร	18
3.2 แสดงลักษณะใบขาวก่อนและหลังการไออกไซด์ ขั้นตอนการไออกไซด์ และตัวแปรที่ทำการปรับเปลี่ยนในขั้นตอนการไออกไซด์	18
3.3 ลักษณะของแห่งอัดและการบรรจุใบขาวภายในแห่งอัด	19
4.1 ภาพใบขาวที่ผ่านการขึ้นรูปเป็นแห่งโนโนลิต โดยผ่านการไออกไซด์	20
4.2 กราฟ TGA และ DTG ของผงเซลลูโลสและผงเซลลูโลสที่ผ่านการไออกไซด์	21
4.3 กราฟ TGA และ DTG ของผงลิกนินและผงลิกนินที่ผ่านการไออกไซด์	22
4.4 กราฟ TGA และ DTG ของใบขาวแห้งและใบขาวแห้งที่ผ่านการไออกไซด์	23
4.5 แห่งโนโนลิตของใบขาวแห้ง	24
4.6 วงจรกราฟ TGA ของเซลลูโลส ลิกนิน เอมิเซลลูโลส และเส้นใยขาวแห้ง	25
4.7 รูปแบบการเลี้ยวเบนรังสีเอ็กซ์ของผงเซลลูโลสและผงเซลลูโลสที่ต้องการดัดฟิวริก	26
4.8 รูปแบบการเลี้ยวเบนรังสีเอ็กซ์ของใบขาวและใบขาวที่ต้องการดัดฟิวริก	27
4.9 สเปกตรัม FTIR ของเซลลูโลส ลิกนิน เอมิเซลลูโลส และใบขาวแห้ง	28
4.10 สเปกตรัม FTIR ของใบขาวแห้งและใบขาวแห้งที่ผ่านการไออกไซด์	29

สารบัญสัญลักษณ์และอักษรย่อ

% Cr = % Crystallinity
C.I. = Crystallinity Index



บทที่ 1

บทนำ

1.1 ความเป็นมาและความสำคัญของโครงงาน

วัสดุคาร์บอนรูปrun (Carbon Porous Materials) คือวัสดุที่เป็นคาร์บอน ซึ่งมีรูปรุนสูงหรือพื้นที่ผิวจำเพาะสูง สมบัตินี้จึงเหมาะสมในการนำมาทำเป็นตัวดูดซับ และมีการใช้งานอย่างกว้างขวางในด้านต่างๆ ไม่ว่าจะเป็นในรูปของถ่านกัมมันต์ (Activated Carbon) และยังรวมถึงวัสดุรูปrunแบบลำดับขั้น (Hierarchical Porous Materials) โดยวัสดุรูปrunแบบลำดับขั้นนั้น โดยเด่นในเรื่องการมีพื้นที่ผิวจำเพาะที่ประกอบไปด้วย มีโครโพอร์ (Micropores) รูปrunขนาดน้อยกว่า 2 นาโนเมตร มีโซ-พอร์ (Mesopores) รูปrunขนาด 2 นาโนเมตร ถึง 50 นาโนเมตร และแมคโครโพอร์ (Macropores) รูปrunขนาดใหญ่กว่า 50 นาโนเมตร ที่เชื่อมต่อกัน [1] ลักษณะเด่นนี้ทำให้วัสดุรูปrunแบบลำดับขั้นถูกนำไปใช้เพื่อเป็นวัสดุรองรับตัวเร่งปฏิกิริยา ตัวเก็บประจุ [3] สารดูดซับสมรรถนะสูง และอื่นๆ โดยการสังเคราะห์วัสดุรูปrunแบบลำดับขั้นสามารถทำได้หลายวิธี ตัวอย่างหนึ่งทำโดยการสังเคราะห์แมคโครโพอร์โดยการใช้แม่แบบ (Template) แล้วใช้การกระตุนทางเคมี และการกระตุนทางกายภาพในการสังเคราะห์รูปrunในช่วงมีโซพอร์หรือมีโครพอร์ต่อไป [2, 4]

วัสดุตั้งต้นที่ใช้ในการสังเคราะห์รูปrunแบบลำดับขั้น โดยมากใช้วัตถุดิบจากถ่านหิน (Coal) ปีตroleum (Petroleum) เป็นต้น ซึ่งวัตถุดิบเหล่านี้เป็นสารประเภทเชื้อเพลิงฟอสซิล (Fossil fuel) มีราคาแพงและมีจำกัด ในปัจจุบันจึงให้ความสนใจวัสดุทางธรรมชาติหรือวัสดุชีวมวล (Biomass) เพื่อนำมาเป็นวัตถุดิบสำหรับเตรียมเป็นวัสดุตั้งต้นสำหรับผลิตเป็นคาร์บอนรูปrunแบบลำดับขั้น วัสดุชีวมวลทางธรรมชาติที่ได้รับความสนใจในการนำมาทำเป็นวัตถุดิบตั้งต้น เช่น พังช้า [5] ลำต้นฝ้าย [10] เม็ดมะกอก ใบบัว กลานมะพร้าว เป็นต้น ซึ่งวัสดุทางธรรมชาติ สามารถหาได้ง่าย ราคาถูก [6] และช่วยลดปัญหาสภาพแวดล้อม จากการเหลือทิ้งของวัสดุทางธรรมชาติ [7] การนำวัสดุรูปrunแบบลำดับขั้นไปใช้งานสามารถใช้ได้หลากหลายรูปทรง รูปทรงหนึ่งที่ใช้คือ รูปทรงแบบโมโนลิท (Monolith) โดยนิยามของโมโนลิทคือรูปทรง 3 มิติ ไม่จำกัดรูปร่าง

ในงานวิจัยนี้ มีความสนใจในการเตรียมวัสดุตั้งต้นสำหรับผลิตคาร์บอนที่มีรูปรุนแบบลำดับขั้นที่มีรูปทรงเป็นโมโนลิท (ทรงกระบอก) โดยวัสดุตั้งต้นที่ใช้ในการเตรียมคือใบบัวแห้ง ใบบัวมีลักษณะโครงสร้างเป็นร่างตาข่าย เพื่อการนำไปใช้ประโยชน์ในด้านการตีงเข้มใช้เม็กซ์เข้าไปในรูปrun แต่เนื่องจากใบบัวมีรูปร่าง 2 มิติ จึงได้นำมาทำการเรียงต่อกันเพื่อให้ได้รูปทรงแบบโมโนลิทหรือรูปทรง 3 มิติ เพื่อเพิ่มพื้นที่ของรูปrunที่เชื่อมต่อกันได้มากขึ้น ซึ่งให้ความสนใจเกี่ยวกับอิทธิพลของการไฮโดรไลซิสของสารเคมี 3 ชนิด ได้แก่ กรดซัลฟิวริก กรดฟอสฟอริก และซิงค์คลอไรต์ และความเข้มข้นของสารเคมีที่ใช้ในการไฮโดรไลซิสที่มีผลต่อการขึ้นรูปของเส้นใยบัวให้เป็นรูปทรงแบบโมโนลิท และทดสอบว่าวัสดุตั้งต้นที่เตรียมได้นั้นสามารถนำไปใช้งานได้จริงต่อไป

1.2 วัตถุประสงค์ของโครงการ

เพื่อศึกษาถึงการเตรียมวัสดุตั้งต้นสำหรับผลิตเป็นคาร์บอนโนโนลิทที่มีรูพรุนแบบลำดับชั้น (Monolith Carbon Precursor with Hierarchical Pore) จากเส้นใยบัวแห้งสายพันธุ์บัวกลม (*Luffa Cylindrica*) โดยศึกษาถึงปัจจัย ดังนี้

1.2.1 อิทธิพลของกรดซัลฟิวริก (Sulfuric acid : H_2SO_4) กรดฟอฟอริก (Phosphoric acid : H_3PO_4) และซิงค์คลอไรด์ (Zinc chloride : $ZnCl_2$) ที่ส่งผลต่อการขึ้นรูปของเส้นใยบัวให้เป็นรูปทรงแบบโนโนลิท

1.2.2 อิทธิพลของความเข้มข้นของกรดซัลฟิวริก กรดฟอฟอริก และซิงค์คลอไรด์ในขั้นตอนการไฮโดรไลซิส (Hydrolysis) ที่มีต่อการขึ้นรูปทรงแบบโนโนลิทของเส้นใยบัวให้เป็นรูปทรงแบบโนโนลิท

1.3 ขอบเขตในการดำเนินโครงการ

เป็นการทดลองในระดับห้องปฏิบัติการ โดยกำหนดตัวแปรที่ใช้ในการศึกษาและควบคุม ดังนี้

1.3.1 ตัวแปรที่ใช้ในการศึกษา

ศึกษาความเข้มข้นของกรดซัลฟิวริก กรดฟอฟอริก และซิงค์คลอไรด์ที่ความเข้มข้น 0.2 และ 0.9 มิลลิตร สำหรับการไฮโดรไลซิสเส้นใยบัวแห้ง

1.3.2 ตัวแปรควบคุม

1.3.2.1 ควบคุมน้ำหนักของเส้นใยบัว 5 กรัม ในปริมาตรขนาด 6.25 มิลลิลิตร

1.3.2.2 อุณหภูมิในการทำความสะอาดเส้นใยบัวอยู่ในช่วง 60-65 องศาเซลเซียส

1.3.2.3 อุณหภูมิที่ใช้ในการอบแห้ง 70 องศาเซลเซียส

1.3.2.4 อุณหภูมิที่ใช้ในการไฮโดรไลซิสอยู่ในช่วง 80-85 องศาเซลเซียส

เวลาที่ใช้ในการไฮโดรไลซิส 120 นาที

1.3.2.5 อุณหภูมิและเวลาในการอัดขึ้นรูป 180 องศาเซลเซียส และ 120 นาที

ตามลำดับ

1.4 สถานที่ในการดำเนินโครงการ

1.4.1 อาคารปฏิบัติการวิศวกรรมอุตสาหการ

1.4.2 ห้องปฏิบัติการพื้นฐานวิศวกรรมเคมี

1.5 ระยะเวลาในการดำเนินโครงการ

ตั้งแต่เดือน มิถุนายน พ.ศ. 2555 ถึง มกราคม พ.ศ. 2556

1.6 ขั้นตอนและแผนการดำเนินโครงการ

ตารางที่ 1.1 ขั้นตอนและแผนการดำเนินโครงการ

	การดำเนินโครงการ	ช่วงเวลา							
		ม.ย.	ก.ค.	ส.ค.	ก.ย.	ต.ค.	พ.ย.	ธ.ค.	ม.ค.
1.6.1	ออกแบบการทดลอง และค้นคว้าทฤษฎี	◀			▶				
1.6.2	ออกแบบและประกอบเครื่องมือที่ใช้ในการอัดขึ้นรูปวัสดุตั้งต้น					◀▶			
1.6.3	ทำการทดลองอัดขึ้นรูปวัสดุตั้งต้น					◀▶			
1.6.4	ตรวจสอบคุณลักษณะของวัสดุตั้งต้น					◀▶			
1.6.5	สรุปผลการดำเนินงานและจัดทำรูปเล่ม					◀▶			



บทที่ 2

หลักการและทฤษฎีเบื้องต้น

การเตรียมวัสดุตั้งต้นสำหรับผลิตเป็นครัวบอนโนโนลิทมีรูพรุนแบบลำดับชั้น จากเส้นใยบวบแห้งสายพันธุ์บวบกลม มีทฤษฎีที่เกี่ยวข้อง ดังต่อไปนี้

2.1 ทฤษฎีที่เกี่ยวข้อง

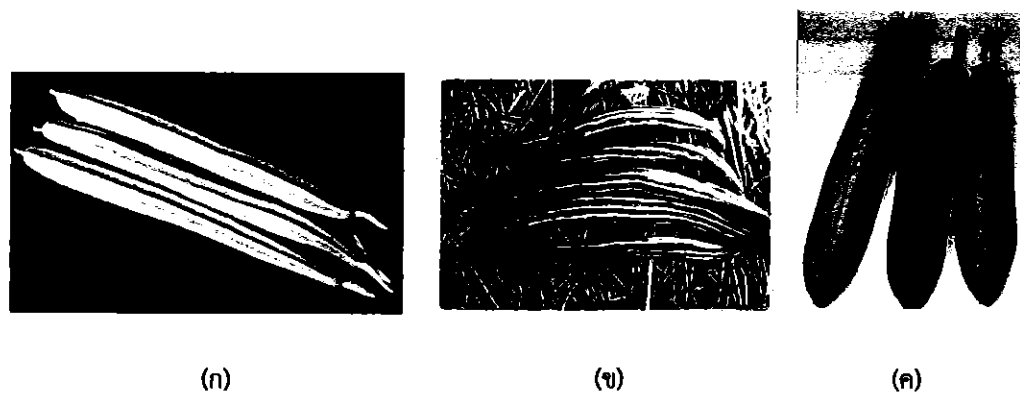
2.1.1 บวบ (Luffa)

บวบเป็นพืชผักตระกูลแตง (CUCURBITACEAE) ในส่วนใหญ่นิยมนำผลอ่อนมาปรุงรับประทาน ส่วนผลแก่จะปล่อยให้แห้งเหลือแต่เส้นใยที่เรียกว่า รังบวบ และถูกนำมาใช้ในการอาบน้ำชัดๆ บวบที่สามารถปลูกได้ในประเทศไทย ได้แก่

2.1.1.1 บวบเหลี่ยม (*Luffa acutangular Roxb.*) ชื่อสามัญคือ Angled Loofah เป็นไม้เลื้อยอายุปีเดียว เก้ามีความยาว 6-8 เมตร ผลของบวบขนาดแตกต่างกันตามชนิด รูปทรงกรอบก้มมีเหลี่ยมตามความยาวผล เมล็ดมีลักษณะเป็นวงรี สีดำ ผิวเรียบ ไม่มีปีกที่เมล็ดเก็บเกี่ยวผลผลิตได้เร็ว นิยมปลูกโดยการหยอดเมล็ดในแปลงปลูก แปลงปลูกควรมีขนาดกว้างเพื่อให้เกาเลือยได้สะตอก ทำค้างเป็นรูปสามเหลี่ยมหรือสี่เหลี่ยม ผูกยึดให้แข็งแรง บวบเหลี่ยมเริ่มเก็บเกี่ยวได้ที่อายุ 45-50 วัน หลังหยอดเมล็ด

2.1.1.2 บวนง (*Trichosanthes angulina Linn.*) ชื่อสามัญคือ Snake Gourd ผลลักษณะกลมยาวปลายผลแหลม ผิวเรียบ มีแฉบสีขาวสลับเขียว เมื่อสุกมีสีส้มแดง เมล็ดบวนงมีขนาดใหญ่ การปลูกจึงหยอดเมล็ดลงในแปลงปลูกโดยตรงหรือเพาะกล้าก่อนแล้วนำไปปลูก ระยะห่าง 15-20 วัน บวนงจะเลือยหอดยอดที่อายุ 30 วันหลังหยอดเมล็ด เริ่มออกดอกที่อายุ 45-50 วัน หลังหยอดเมล็ดและเริ่มเก็บเกี่ยวผลอ่อนที่อายุ 50-60 วัน หลังหยอดเมล็ด

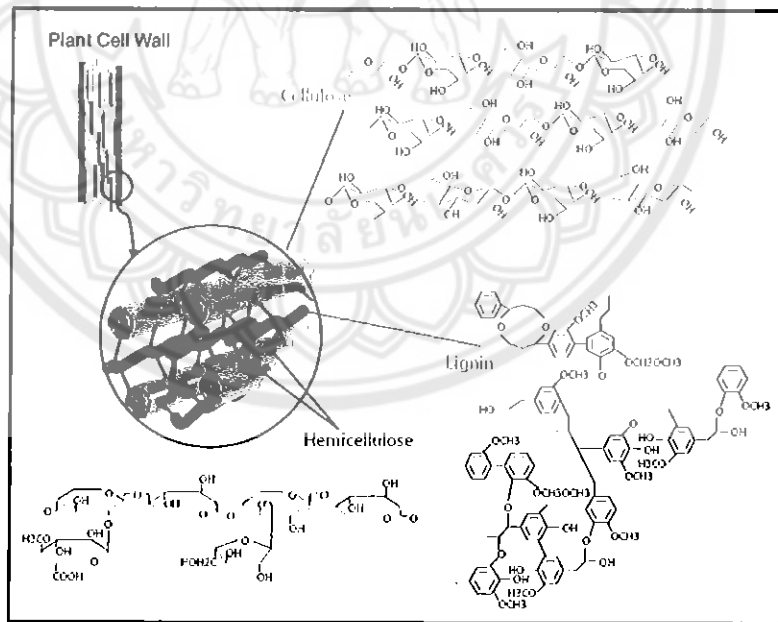
2.1.1.3 บวนหอมหรือบวบกลม (*Luffa cylindrica Roem.*) ชื่อสามัญคือ Smooth Loofah ผลอ่อนสีเขียวมีลายเส้นขวาง ผลแก่สีเขียวออกเหลืองจนถึงสีน้ำตาล มีเส้นใยเหนียว ลักษณะเป็นร่องแท้ การปลูกสามารถหยอดเมล็ดลงในแปลงปลูกโดยตรง เมื่อต้นกล้าอายุประมาณ 10-14 วัน ก่อนแยกให้เหลือต้นที่สมบูรณ์ บวนหอมจะเลือยหอดยอดที่อายุ 15-20 วัน หลังหยอดเมล็ด บวนหอมจะเริ่มออกดอกที่อายุ 42-70 วันหลังหยอดเมล็ดและเริ่มเก็บเกี่ยวผลอ่อนที่อายุ 63-91 วัน หลังหยอดเมล็ด



รูปที่ 2.1 (ก) บานเหลี่ยม ที่มา : inandcoseeds.com, (ข) บานงู ที่มา : thaiseed.co.th
 (ค) บานหอยหรือบานกลม ที่มา : agric-prod.mju.ac.th

2.1.2 ลิกโนเซลลูโลส (Lignocelluloses)

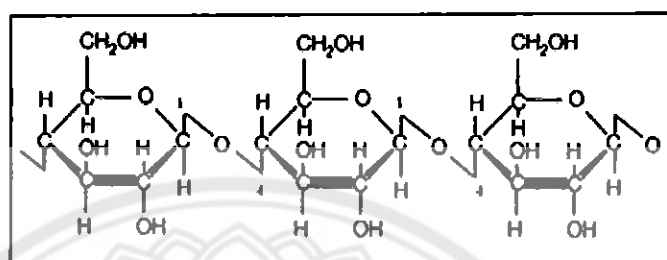
ลิกโนเซลลูโลส เป็นองค์ประกอบหลักของผนังเซลล์พืช เป็นขีมวลที่ได้รับความสนใจที่จะใช้เป็นวัตถุดิบตั้งต้นสำหรับเชื้อเพลิงและสารเคมีที่มีมูลค่าสูงอย่างมาก เพราะเป็นวัตถุดิบที่สามารถหาได้ไม่ยาก ซึ่งองค์ประกอบของลิกโนเซลลูโลสนั้นด้วยประกอบด้วยสามองค์ประกอบหลักได้แก่ เเซลลูโลส เอมิเซลลูโลส และลิกนิน ดังรูปที่ 2.2



รูปที่ 2.2 การจัดเรียงของเซลลูโลส เอมิเซลลูโลส และลิกนินในผนังเซลล์พืช
 ที่มา : Biofuel.webgarden.com

2.1.3 เชลลูโลส (Cellulose)

เชลลูโลสเป็นคาร์บอไฮเดรต (Carbohydrate) ประเภทพอลิแซ็กคาไรด์ เป็นองค์ประกอบหลักของผนังเซลล์พืชทุกชนิด โดยเชลลูโลสจะอยู่ขึ้นในสุดของผนังเซลล์พืช โครงสร้างของเชลลูโลสประกอบไปด้วยจำนวนไม่จำกัดของกลูโคส (Glucose) เป็นสายยาวมากกว่า 2000 ไมเลกุล เชลลูโลสมีสูตรโมเลกุลเป็น $(C_6H_{10}O_5)_n$ โครงสร้างโมเลกุลของเชลลูโลสแสดง ดังรูปที่ 2.3



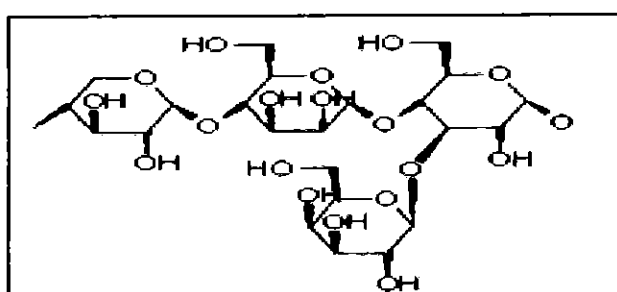
รูปที่ 2.3 โครงสร้างโมเลกุลของเชลลูโลส

ที่มา : จุฬารัตน์ พงษ์ไนรี (2547)

2.1.4 เยมิเชลลูโลส (Hemicelluloses)

เยมิเชลลูโลสเป็นคาร์บอไฮเดรตประเภทพอลิแซ็กคาไรด์ ในโมเลกุลของเยมิเชลลูโลส เป็นแบบเยหetroพอลิแซ็กคาไรด์ (Heteropolysaccharide) ที่ประกอบด้วยน้ำตาลหลายชนิด ได้แก่ น้ำตาลไซโลส (Xylose) น้ำตาลmannose (Mannose) กาแลกโตส (Galactose) หรือกลูโคส (Glucose) มาต่อ กันเป็นโซ่อัลกอกและมีน้ำตาลชนิดอื่นมาต่อ กันเป็นโซ่สาขา ได้แก่ น้ำตาลอาราบินอส (Arabinose) และกรดกลูโคโนนิก (Glucuronic acid)

เยมิเชลลูโลส เป็นเส้นใยอาหารที่ไม่ละลายน้ำ ไม่สามารถย่อยได้ด้วยเอนไซม์ในระบบทางเดินอาหารของมนุษย์และสัตว์กระเพาะเดียว สามารถละลายได้ในสารละลายด่างเจือจาง และถูกย่อยด้วยสารละลายกรดเจือจาง สามารถละลายได้ด้วยสารละลายโซเดียมไอกโรคไซค์ เยมิเชลลูโลส นั้นมีลักษณะเป็นกิ่งก้านสาขา และมีความยาวของสายโซ่สั้น มีความยาวประมาณ 40 หน่วยกลูโคส

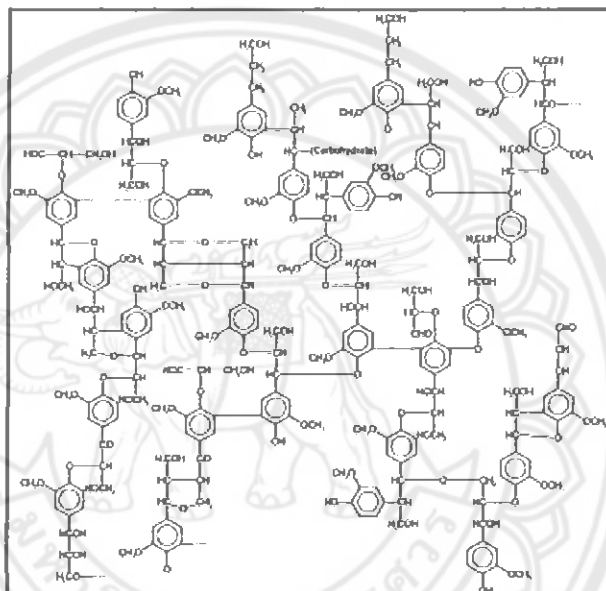


รูปที่ 2.4 โครงสร้างโมเลกุลของเยมิเชลลูโลส

ที่มา : en.wikipedia.org

2.1.5 ลิกนิน (Lignin)

ลิกนิน เป็นส่วนประกอบที่สำคัญอย่างหนึ่งของพืชในไม้เนื้อแข็ง ซึ่งจะมีสัดส่วนประมาณร้อยละ 17–25 ในไม้เนื้ออ่อนจะมีสัดส่วนประมาณร้อยละ 24–32 ในเส้นใยเปลือกลำต้น เช่น ป่านลินิน ป่านมนิลา และป่า มีอยู่เล็กน้อยและแทบจะไม่มีเลยในเส้นใยฝ้าย ลิกนินเป็นสารประกอบพอลิเมอร์ไม่มีรูปผลึก จะเกาะกันอยู่ในขั้นระหว่างเส้นใย ดังรูปที่ 2.2 ซึ่งทำหน้าที่ยึดเกาะเส้นใยเข้าด้วยกัน และมีบางส่วนผสมอยู่ในเส้นใยด้วย โครงสร้างพื้นฐานของลิกนินคือ พีนิลโพร์เพلن (Phenylpropane) หรือสารประกอบไฮdroคาร์บอน (Hydrocarbon) ที่มี Carbon 9 อะตอม ประมาณร้อยละ 65–67



รูปที่ 2.5 โครงสร้างโมเลกุลของลิกนิน

ที่มา : en.wikipedia.org/wiki/Lignin

ได้มีผู้ศึกษาถึงโครงสร้างของลิกนินได้สูตรเคมีเป็น $C_9H_{8.83}O_{2.37}(OCH_3)_{0.96}$ โดยมีน้ำหนักโมเลกุลอยู่ระหว่าง 3,000 – 30,000 ลิกนินและอนุพันธ์ของลิกนินสามารถนำไปใช้ประโยชน์ได้อย่างกว้างขวาง ดังนี้

2.1.5.1 ใช้เป็นสารยึดติด เช่น สารกันซึม สารเชื่อมติด และสารเคลือบ ในอุตสาหกรรมกระดาษ

2.1.5.2 ใช้ในด้านเคมีภัณฑ์เกษตร ได้แก่เคมีภัณฑ์ปรับปรุงดิน เคมีภัณฑ์ควบคุมผุน ปุ๋ย ยาฆ่าแมลง ยากำจัดวัชพืช ใช้ในการหมัก และเป็นสารเติมแต่งในอุตสาหกรรมอาหารสัตว์ เป็นต้น

2.1.5.3 ใช้ทำเคมีภัณฑ์สำหรับผลิตน้ำให้บริสุทธิ์ และเคมีภัณฑ์ที่ใช้ในการบำบัดน้ำเสีย ได้แก่ สารพ่วง ion exchange

2.1.5.4 ใช้ผสมในชีเมนต์ เพื่อเพิ่มคุณสมบัติ เช่น ช่วยให้การแข็งตัวของชีเมนต์ดี เพิ่มความแข็งแรงคงทน

2.1.5.5 ใช้ในอุตสาหกรรมขุดเจาะน้ำมัน เช่น เป็น drilling fluids และ oil well sealants

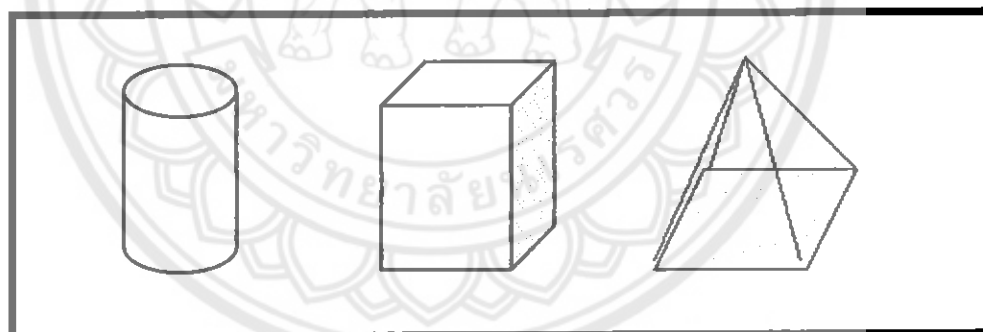
2.1.5.6 ใช้ในอุตสาหกรรมยาง เป็นสารเติมแต่ง สารเร่งปฏิกิริยา สารช่วยให้มีการยึดและสารช่วยให้ความเป็น พลาสติกดีขึ้น

2.1.5.7 ใช้เป็นสารช่วยกระจาย (dispersing agent) มีประโยชน์ในอุตสาหกรรมหลายอย่างเช่น การกำจัดหมึกในอุตสาหกรรมกระดาษ การขูบเคลือบ และอุตสาหกรรมสิ่งทอ ได้แก่ การพอกย้อม เป็นต้น

2.1.5.8 ใช้ในอุตสาหกรรมอื่นๆ เช่น อุตสาหกรรมฟอกหนังและอุตสาหกรรมแบตเตอรี่

2.1.6 รูปทรงแบบโมโนลิท (Monolith)

รูปทรงแบบโมโนลิทนี้มีความหมาย คือ รูปทรงแบบสามมิติที่ไม่จำกัดรูปร่าง อาทิ เช่น รูปทรงกรอบ ก้อน รูปทรงคิวบิก ปรามิด ฯลฯ ล้วนแล้วแต่เป็นรูปทรงแบบโมโนลิท ในงานวิจัยนี้ได้ทำการเตรียมวัสดุตั้งต้นที่ใช้สำหรับผลิตเป็นวัสดุที่มีรูพรุนแบบสำลักขึ้นที่มีรูปทรงกรอบ ก้อน โดยใช้แห่งอัด (ลักษณะของแห่งอัดจะแสดงอยู่ในวิธีการดำเนินการทดลอง) ในการขึ้นรูป



รูปที่ 2.6 รูปทรงโมโนลิท

2.1.7 กระบวนการไฮโดรไรซิส (Hydrolysis Process)

กระบวนการไฮโดรไรซิสเป็นปฏิกิริยาที่เป็นการแตกพันธุ์เคมีโดยการเติมน้ำ ปฏิกิริยาจะเกิดขึ้นระหว่างนิวเคลียสของน้ำ คือ ไฮโดรเจนไอโอน (H^+) หรืออนุภาค OH^- กับสารเคมีซึ่งจะเกิดการแลกเปลี่ยนกับกลุ่ม OH^- โดยสารประกอบอนุพันธ์ที่ได้จากการดมักไวต่อปฏิกิริยาไฮโดรไรซิส [24]

ในงานนี้กระบวนการไฮโดรไรซิสจะเกิดที่ตัวของเซลลูโลส ซึ่งเป็นองค์ประกอบหลักของใบบัว ส่งผลให้โครงสร้างของเซลลูโลสเปลี่ยนแปลงแสดงดังรูปต่อไปนี้

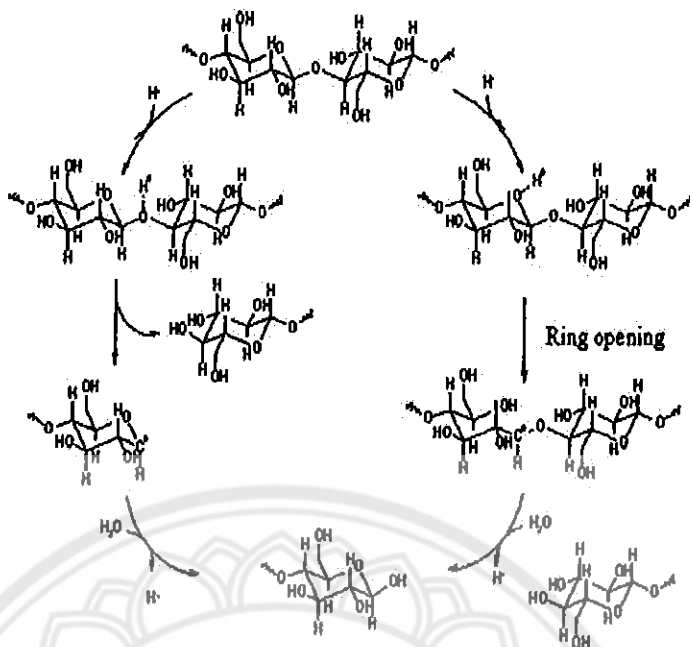


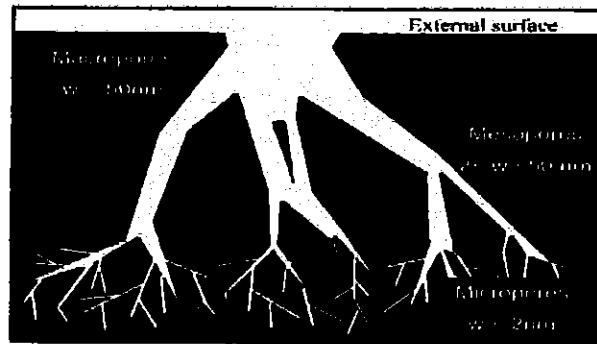
Fig. 1. Proposed mechanism for cellulose hydrolysis [35].

รูปที่ 2.7 การเกิดปฏิกิริยาไฮโดรไลซิสด้วยกรดที่เกิดกับโมเลกุลเซลลูโลส ที่มา : Amandine Cabiac and groups (2011)

รูปที่ 2.7 แสดงรูปแบบการเกิดปฏิกิริยาไฮโดรไลซิส ในงานวิจัยนี้ใช้กรดในการไฮโดรไลซิสเส้นใยบุบแท้ที่มีองค์ประกอบหลักเป็นเซลลูโลส โดยกระบวนการไฮโดรไลซิสนั้นเกิดขึ้น 3 ขั้นตอน เริ่มจากการที่ H^+ จากกรดเข้ามาทำปฏิกิริยากับโครงสร้างเซลลูโลสมาจากการ ซึ่งจะเห็นอย่างชัดเจนว่าไฮดรอกซิล (-OH) จับกับ H^+ และทำให้เกิดอิเล็กตรอนคู่โดดเดี่ยวของหมู่ C ทำให้วางแนวของเซลลูโลสเปิด [26] เป็นผลให้โครงสร้างของเซลลูโลส จากที่เป็นวงแหวนเมื่อถูกไฮโดรไลซิสทำให้วางแหวนเปิดและโครงสร้างเปลี่ยนไป

2.1.8 วัสดุที่มีรูพรุนแบบลำดับชั้น (Hierarchical porous materials)

วัสดุที่มีรูพรุนแบบลำดับชั้น เป็นวัสดุที่มีโครงสร้างรูพรุนของไมโครพอร์ (Micropores) มีโซพอร์ (Mesopores) และแมคโครพอร์ ที่เชื่อมต่อกัน โดยรูพรุนทั้งสามชนิดที่ได้กล่าวมานี้เป็นรูพรุนระดับนาโนเมตร ในโครพอร์เป็นรูพรุนที่มีขนาดน้อยกว่า 2 นาโนเมตร มีโซพอร์ (Mesopores) เป็นรูพรุนที่มีขนาด 2 นาโนเมตร ถึง 50 นาโนเมตร และแมคโครพอร์ (Macropores) เป็นรูพรุนที่มีขนาดมากกว่า 50 นาโนเมตร

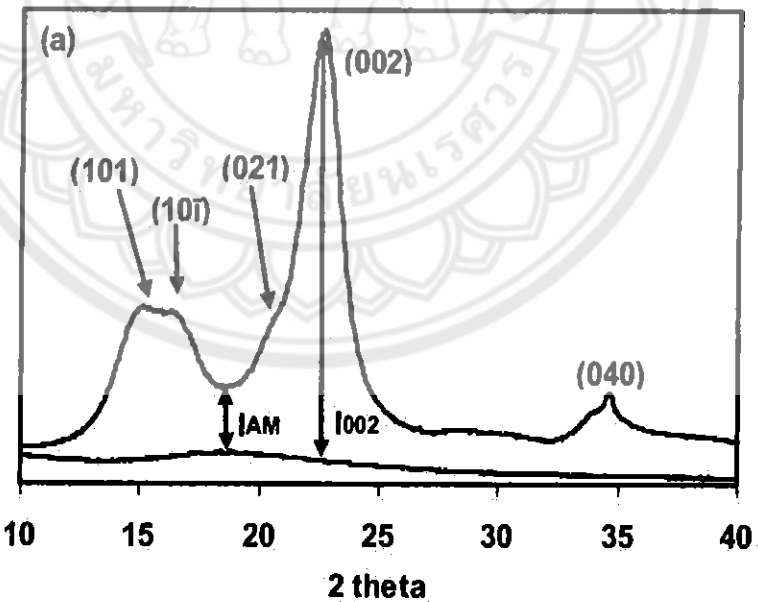


รูปที่ 2.8 ลักษณะของรูพรุนลำดับขั้น

ที่มา : Teresa J. Bandosz. (2006).

2.1.9 ร้อยละความเป็นผลึก (เซลกูลอส)

ในการคำนวณร้อยละความเป็นผลึกของเซลกูลอสสามารถหาได้จาก การที่สารนั้นมีทั้ง ผลึกและอสัณฐาน (Amorphous) ซึ่งในการหาร้อยละความเป็นผลึกทำได้โดยการอัตราส่วนความ เชื้มขันส่วนที่เป็นผลึก และส่วนที่เป็นอสัณฐาน โดยส่วนที่เป็นผลึก คือส่วนที่มีความสูงของกราฟมาก สุดหรือเป็นส่วนที่มีความเป็นผลึกสูง ส่วนที่เป็นอสัณฐาน คือส่วนที่ตำแหน่งของกราฟมีความแคลม น้อย ไม่เป็นรูปทรงแน่นอน หรือมีความเป็นเป็นอสัณฐาน [27]



รูปที่ 2.9 แสดงรูปแบบความเป็นผลึกและความเป็นอสัณฐานของเซลกูลอส

ที่มา : Sunkyu Park and groups. (2010)

โดยมีสูตรในการคำนวณ ดังนี้ [28]

$$\% \text{ Crystallinity} = \left(\frac{I_{002}}{I_{002} + I_{am}} \right) \times 100 \quad (2.1)$$

$$\text{Crystallinity Index (C.I.)} = \left(\frac{I_{002} - I_{am}}{I_{002}} \right) \quad (2.2)$$

เมื่อ I_{002} คือ ความเข้มของรังสีเอ็กซ์ที่ตำแหน่งของกราฟแผลมมากที่สุดหรือมีความเป็นผลึกมากสุด โดย 002 คือ ระยะที่มีตำแหน่งของกราฟแผลมมากที่สุดหรือมีความเป็นผลึกสูง

I_{am} คือ ความเข้มของรังสีเอ็กซ์ที่ตำแหน่งอสัณฐาน โดยในงานวิจัยต่างๆ ใช้ทรงองศาที่ประมาณ 18 [29, 30]

2.1.10 การทดสอบด้วยน้ำ

การทดสอบด้วยน้ำเป็นการทดสอบอย่างง่ายที่สามารถสังเกตได้ด้วยตาเปล่า เพื่อสังเกตการยึดติดของแห้งไมโนโลหิตในงานนี้เป็นวัสดุที่ขึ้นรูปเป็นทรงกระบอก วัตถุดับที่นำมายืนรูปคือเส้นใยบวนแห้ง เพื่อนำไปประยุกต์ใช้ต่อในงานตرعเรือนไข่มะแบบชั้นเดียว และเน้นโครงสร้างรูพรุนแบบหลักถักกันทั้งแห้ง เพื่อช่วยให้การถ่ายโอนมวลเกิดขึ้นได้มาก

2.2 การสำรวจเอกสารงานวิจัย

2.2.1 วิธีการเตรียมวัสดุตั้งต้น และการบอนที่มีรูพรุนแบบลำดับขั้น (Preparation of Carbon Precursor with Hierarchical Porous Structure)

วัสดุตั้งต้นที่ใช้สำหรับผลิตเป็นคาร์บอนที่มีรูพรุนแบบลำดับขั้นนั้น ในงานวิจัยที่ผ่านมา ส่วนมากจะผลิตเป็นวัสดุโพลิเมอร์โดยใช้วัตถุดับจากน้ำมันปิโตรเลียม ซึ่งน้ำมันปิโตรเลียมนั้นเป็นทรัพยากรที่มีจำกัดและมีค่าใช้จ่ายที่สูง ดังนั้นจึงมีงานวิจัยต่างๆ ที่เกี่ยวกับการนำวัสดุชีว-มวล มาใช้เป็นวัตถุดับตั้งต้นในการผลิตเป็นคาร์บอนรูพรุน ด้วยเหตุผลที่ว่าวัสดุชีวมวลนั้นเป็นวัสดุที่จัดหาได้ง่าย ราคาถูก และวัสดุชีวมวลบางชนิดนั้นก็เป็นวัสดุเหลือทิ้งจากการเกษตร ซึ่งจากการสำรวจเอกสารงานวิจัยที่เกี่ยวกับการสังเคราะห์คาร์บอนรูพรุนนั้น มีดังนี้

F. Kurosaki และคณะ (2008) [1] ได้พัฒนาการสังเคราะห์การควบคุมรูปทรงของวัสดุคาร์บอนที่มีรูพรุนสูงกว่าร้อยละ 80 และมีพื้นที่ผิวจำเพาะ 6,709 ตารางเมตรต่อกรัม โดยการสังเคราะห์จะให้ความร้อนแบบจุลวารไฟของชีลีออย (Flash Heating of Sawdust) และภายหลังการเตรียม (Treatment) ด้วยความร้อนอุณหภูมิต่ำ (380 องศาเซลเซียส) โดยการให้ความร้อนแบบจุลวารไฟ (Flash) คือการเปลี่ยนแปลง

ลักษณะสัณฐานวิทยาของปีเดียวเพื่อสร้างโครงสร้างระดับไมโครของคาร์บอนอัลลอยน้ำที่มีรูพรุนแบบลำดับขั้นจากโครงสร้างของแกรไฟฟ์ โดยวิธีการสังเคราะห์น้ำที่ใช้สารละลายโซเดียมคลอไรด์ (NaCl) เป็นแม่แบบ (*Template*) และใช้โลหะเป็นตัวเร่งปฏิกิริยาที่อุณหภูมิ 850 องศาเซลเซียส เป็นตัวสังเคราะห์มีโซเดียมไฮดรอกไซด์ในโครงสร้าง และใช้กลูโคสกับเหล็กเป็นวัสดุตั้งต้นของการบอนรูพรุน โดยวิธี Graphitization ในการเร่งปฏิกิริยา ทำการวิเคราะห์การคุณภาพขั้น-คายขั้นของในโครงสร้าง (*Nitrogen Adsorption-Desorption Analysis*) พบร้าอัตราส่วนมวลของวัสดุตั้งต้นที่เป็นโลหะกับวัสดุตั้งต้นที่เป็นคาร์บอน คือ 0.005–0.02 มีพื้นที่ผิวจำเพาะตั้งแต่ 498 ถึง 253 ตารางเมตรต่อกรัม

Kaisheng Xia และคณะ (2008) [3] ได้ศึกษาการบอนที่มีรูพรุนแบบลำดับขั้น เตรียมโดยการกระตุ้น (*Activation*) ด้วยแก๊สคาร์บอนไดออกไซด์ (CO_2) โดยนำมาใช้เป็นวัสดุทางไฟฟ้า สำหรับ Supercapacitor ตรวจสอบลักษณะเฉพาะโดยใช้เทคนิคเอกซ์เรย์ดิฟแทรกชัน (*XRD*) กล้องจุลทรรศน์อิเล็กตรอนแบบส่องผ่าน (*TEM*) และค่าการคุณภาพขั้น-คายขั้น ในโครงสร้าง (*Nitrogen Adsorption-Desorption Analysis*) ที่อุณหภูมิ 77 เคลวิน โดยผลของแก๊สคาร์บอนไดออกไซด์ทำให้มีการปรับปรุงลักษณะโครงสร้างให้เห็นอย่างชัดเจน พื้นที่ผิวจำเพาะ ปริมาณของมีโซเดียม (*Mesopores*) และไมโครพอร์ (*Micropores*) สำหรับตัวอย่างตรงตามคุณสมบัติที่ต้องการนั้น ได้ถูกเตรียมด้วยแก๊สคาร์บอนไดออกไซด์ที่อุณหภูมิ 950 องศาเซลเซียส ที่ระยะเวลา 6 ชั่วโมง จะให้ประสิทธิภาพที่ดี ได้ทำการตรวจสอบจากการวัดทางไฟฟ้าเคมีแสดงให้เห็นว่า การกระตุ้นด้วยแก๊สคาร์บอนไดออกไซด์นั้นนำไปสู่การแสดงประสิทธิภาพการบีบตัวเก็บประจุ (*Capacitive*) ซึ่งพฤติกรรมของตัวเก็บประจุนั้นจะถูกนำมาประกอบลำดับขั้นโครงสร้างรูพรุน (ไมโครพอร์มาก และการเชื่อมโยงของมีโซเดียม กับรูพรุนขนาด 3 - 4 นาโนเมตร) มีพื้นที่ผิวสูง (2749 ตารางเมตรต่อกรัม) ได้ปริมาตรรูพรุนขนาดใหญ่ ($2.09 \mu\text{m}^3$) ซึ่งเป็นสมดุลที่ต้องการ ลักษณะรูพรุนแบบไมโครพอร์ และมีโซเดียม

Adisak Siyasukh และคณะ (2008) [4] ได้เตรียมวัสดุคาร์บอนโนโนเลทที่มีรูพรุนแบบลำดับขั้น โดยใช้ลำดับขั้นตอนการเตรียม 2 ลำดับ ลำดับที่ 1 สังเคราะห์ แมกโนร์ฟอร์ที่มีรูพรุนเชื่อมถึงกัน จากกระบวนการโซล-เจล พอลิคอนเดนเซชัน (Sol-Gel Polycondensation) โดยศึกษาผลของแม่แบบโซล-เจล ศึกษาความเข้มข้นของตัวเร่งปฏิกิริยา และศึกษากำลังของคลื่นอัลตร้าโซนิก (Ultrasonic Power) ต่อโครงสร้างได้ 624 ตารางเมตรต่อกิโลกรัม ปริมาตรของมีโซลฟอร์ 0.38 ลูกบาศก์เซนติเมตรต่อกิโลกรัม และปริมาตรของไมโครพอร์ คือ 0.22 ลูกบาศก์เซนติเมตรต่อกิโลกรัม จากโนโนเลทที่ทำการกระตุ้นที่ 850 องศาเซลเซียส

Feng Zhang และคณะ (2009) [5] ทำการศึกษาเกี่ยวกับวัสดุคาร์บอนที่มีรูพรุนแบบลำดับขั้น (Hierarchical Porous Carbon) โดยใช้วัตถุดินจากฟางข้าว (Rice Straw) โดยใช้สารละลายน้ำโซเดียมไฮดรอกไซด์ (KOH) ที่ความเข้มข้น 5, 9, 21 และ 22 มอลต่อลิตร เป็นสารกระตุ้น และทำการกระตุ้นด้วยแก๊สในไทรเจน ที่อุณหภูมิ 800 องศาเซลเซียส เวลา 2 ชั่วโมง ผลที่ได้นั้นมีแนวโน้มไปในทางเดียวกัน คือ เมื่อความเข้มข้นของสารละลายน้ำเพิ่มขึ้น ฟื้นฟูผิวจำเพาะ ขนาดของเส้นผ่าศูนย์กลางรู และปริมาตรของรูพรุนนั้นเพิ่มขึ้นด้วย

2.2.2 การไฮโดรไลซิส (Hydrolysis) วัสดุชีวมวล

การไฮโดรไลซิส (Hydrolysis) เป็นการย่อยสลายพันธะเคมีโดยการเติมน้ำ ปฏิกิริยาส่วนใหญ่จะเกิดที่ไม่เลกุลของน้ำกับไอออนของสาร โดยสามารถแบ่งประเภทของการไฮโดรไลซิสได้ 3 ประเภทหลักๆ คือ การไฮโดรไลซิสเกลือ (Salt Hydrolysis) การไฮโดรไลซิสกรด (Acid Hydrolysis) และการไฮโดรไลซิสเบส (Base Hydrolysis) ซึ่งจากการสำรวจเอกสารงานวิจัยนั้น งานวิจัยส่วนมากนิยมใช้กรดในการไฮโดรไลซิส และการสำรวจเอกสารงานวิจัยที่เกี่ยวกับการไฮโดรไลซิสวัสดุชีวมวล ดังนี้

Lili Wang และคณะ (2011) [6] ได้ทำการเตรียมวัสดุตั้งต้นที่เรียกว่า ไฮโดรชาาร์ (Hydrochar) โดยวิธีกระตุ้นด้วยกรดฟอสฟอริกและกรดซัลฟิริกที่ความเข้มข้นต่างกัน สำหรับสังเคราะห์เป็นคาร์บอนรูพรุนที่มีฟื้นฟูผิวสูงถึง 2700 ตารางเมตรต่อกิโลกรัม และมีปริมาตรรูพรุนขนาดใหญ่ประมาณ 1.98 ลูกบาศก์เซนติเมตรต่อกิโลกรัม โดยไฮโดรชาาร์ในที่นี่ คือ แกลบ (Rice Husk) ที่ผ่านการไฮโดรไลซิส (Hydrolysis) ด้วยกรดซัลฟิริก (Sulfuric acid) และกรดฟอสฟอริก (Phosphoric Acid) โดยวิธีด้วยเดรชัน (Dehydration) พอลิเมอร์ไรเซชัน (Polymerization) และคาร์บอนไนเซชัน (Carbonization) โดยการบอนรูพรุนที่เตรียมโดยใช้สารละลายน้ำกรดฟอสฟอริก บันทึกความถี่จำเพาะ 130 Fg^{-1} นอกจากนี้การเรียงตัวของอะตอมเหมือนธรรมชาติของกราฟฟ์ (Localized Graphitic Nature) ของการบอนรูพรุนนี้ชี้ว่ามีโครงสร้างโดยรูปแบบของการเรียงเบนของรังสีเอ็กซ์ (XRD)

I. Romero และคณะ (2010) [7] ได้กล่าวถึงการประยุกต์ใช้งานของต้นมะกอก ซึ่งเป็นวัสดุชีวมวล เมื่อได้ทำการตัดแต่งกิ่งของต้นมะกอกแล้ว จะนำกิ่งของต้นมะกอกมาบด ทึ้งหรือทำการเผา เนื่องด้วยต้นทุนทางเศรษฐกิจ และเรื่องของสิ่งแวดล้อม เนื่องด้วยปัญหานี้จึงได้นำต้นมะกอกมาเป็นวัตถุดินสำหรับผลิตน้ำตาล เพื่อเปลี่ยนเป็นเชื้อเพลิง เอทานอลโดยการไนโตรไรซิสและการหมัก โดยใช้กรดในการไนโตรไรซิส เพื่อสร้างแบบจำลองทางคณิตศาสตร์ทำนายปริมาณเส้นใยและผลได้ของน้ำตาล โดยตัวแปรที่จะศึกษาคือความเข้มข้นของกรดซัลฟิวริกในช่วงร้อยละ 0-32 โดยน้ำหนักต่อน้ำหนัก ใช้อุณหภูมิในกระบวนการ 60–90 องศาเซลเซียส และเวลาในการไนโตรไรซิส 0-240 นาที เพื่อหาสภาวะในการไนโตรไรซิส โดยจากผลการศึกษาพบว่า ความเข้มข้นของกรดมีผล กับการไนโตรไรซิสเส้นใยและผลได้ของน้ำตาล

Jun Seokkim และคณะ (2001) [8] ได้ศึกษาจลคลาสตอร์ของการไนโตรไรซิส เชลลูโลส ภายใต้สภาวะที่เป็นกรดต่ำ (Extremely Low Acid: ELA) คือร้อยละ 0.07 โดยน้ำหนัก และท่ออุณหภูมามากกว่า 200 องศาเซลเซียส ตรวจสอบจลคลาสตอร์โดยเครื่องปฏิกรณ์แบบกะ (Batch Reactor) และเครื่องปฏิกรณ์แบบ Bed-Shrinking FlowThrough (BSFT) จะมีค่าผลผลิตสูงสุดของกลูโคสที่ได้จากการไนโตรไรซิส เชลลูโลสที่อุณหภูมิ 205 และ 220 องศาเซลเซียส และค่าผลผลิตกลูโคสสูงสุดจากต้น poplar สีเหลืองในช่วงร้อยละ 26-50 เนื่องจากต้น Poplar สีเหลืองมีกลูโคสจำนวนมาก ปรากฏว่า น้ำตาลกลูโคสจำนวนมากควบแน่นกับสารที่ไม่ใช่กลูโคส ในรูปของเหลว โดยอัตราการไนโตรไรซิส กลูแคน (Glucan) ภายใต้สภาวะที่เป็นกรดต่ำจะໄວต่ออุณหภูมิในการทดลองสำหรับสามพื้นผิว โดยสิ่งที่เกิดขัดแย้งกับแนวคิดดังเดิมของการย่อยสลายเชลลูโลส ซึ่งหมายถึง การไนโตรไรซิสภายใต้สภาวะที่กรดต่ำ มีอิทธิพล และในการทดลองเครื่องปฏิกรณ์แบบ BSFT ผลผลิตของน้ำตาลได้ร้อยละ 87.5, 90.3 และ 90.8 ที่ได้จากต้น poplar สีเหลือง ที่อุณหภูมิ 205, 220 และ 235 องศาเซลเซียส ตามลำดับ ซึ่งอัตราการไนโตรไรซิสของกลูแคน ทั้ง 3 ครั้งที่เครื่อง BSFT สูงกว่าเครื่องปฏิกรณ์เคมีแบบกะ

P. Lenihan และคณะ (2010) [9] ได้ศึกษาถึงการสร้างเยื่อนไขที่เหมาะสมสำหรับการไนโตรไรซิสด้วยกรดของสารชีวมวลที่เป็นไฮมิเซลลูโลส (Hemicellulose) ของเปลือกมันฝรั่ง โดยปฏิบัติขั้นตอนการเกิดไนโตรไรซิสเกิดภายในที่เครื่องปฏิกรณ์แบบกะ แรงดันสูง โดยใช้กรดฟอฟอริกเจือจาง การวิเคราะห์อัตราการไนโตรไรซิสสารชีวมวล (เชลลูโลส ไฮมิเซลลูโลส ลิกโนเซลลูโลส) ทำโดยการใช้ HPLC (High-Performance Liquid Chromatography) จากผลิตภัณฑ์ของปฏิบัติฯ คือ 5 และ 6 น้ำตาล ควรบอน ซึ่งพารามิเตอร์ในกระบวนการศึกษา คืออุณหภูมิของเครื่องปฏิกรณ์เคมีจาก 135–200 องศาเซลเซียส และความเข้มข้นของกรดจากร้อยละ 2.5-10 โดยน้ำหนักต่อ

น้ำหนัก และการวิเคราะห์ผลิตภัณฑ์จากเครื่องปฏิกรณ์ทำให้เห็นว่า การเปลี่ยนแปลงจากเซลลูโลสเป็นน้ำตาลกูโคสสูง และถึงแม้ว่าจะมีการเปลี่ยนแปลง Arabinose ค่อนข้างต่ำเนื่องจากความไม่เสถียรภาพทางความร้อน ยังได้ผลผลิตน้ำตาลโดยรวมเป็นร้อยละ 82.5 ภายใต้สภาวะที่เหมาะสม ที่ 135 องศาเซลเซียส และความเข้มข้นของกรดร้อยละ 10 โดยน้ำหนักต่อน้ำหนัก โดยการศึกษาครั้งนี้ทำให้ได้ตัวเลือกที่เป็นไปได้ในการผลิตน้ำตาลเพื่อสังเคราะห์เชื้อเพลิงชีวภาพ โดยต้นทุนต่ำและได้ผลผลิตน้ำตาลสูง

Mohamad Anas Nahil และคณะ (2012) [10] ได้ทำการเตรียมแอกติเวเต็ดคาร์บอน (Activated Carbon) จากลำต้นส่วนบนของต้นฝ้าย โดยใช้กรดฟอสฟอริกเป็นตัวกระตู้น และผ่านกระบวนการเผาให้เป็นคาร์บอน (Carbonization) ผ่านแก๊สในโตรเจน ที่ความดันบรรยายกาศ โดยทำการศึกษาผลของอัตราส่วนของกรดฟอสฟอริกต่อต้นฝ้ายในช่วง 0.3–3:1 กรัมต่ogrัม และผลของอุณหภูมิที่ใช้ในการเผาให้เป็นคาร์บอนที่อุณหภูมิระหว่าง 500–800 องศาเซลเซียส แล้วได้ทำการศึกษาการสลายตัวและอัตราการเปลี่ยนแปลงของน้ำหนักที่อุณหภูมิต่างๆ ของวัสดุตั้งต้นในแต่ละอัตราส่วนของกรดฟอสฟอริก โดยผลของอัตราส่วนของกรดฟอสฟอริก และอุณหภูมิในการกระตู้นกับผลของการสลายตัวของแอกติเวเต็ดคาร์บอน ข้อมูลของพื้นที่ผิวได้ผลคือ ที่อัตราส่วน 0.3 และ 0.75 กรัมต่ogrัม เกิดไมโครพอร์จำนวนมาก และที่อัตราส่วน 1.5 และ 3 กรัมต่ogrัม เกิดมีไซพอร์จำนวนมาก และที่อุณหภูมิกระตู้นสูงน้ำหนักของวัสดุตั้งต้นมีการสูญเสียน้อย

Hsu L.Y และคณะ (2000) [11] ได้ทำการเตรียมแอกติเวเต็ดคาร์บอน (Activated Carbon) จากด่านหินปูมัส โดยใช้ตัวกระตู้นที่แตกต่างกัน ได้แก่ ซิงค์คลอไรด์ กรดฟอสฟอริก และโพแทสเซียมไฮดรอกไซด์ โดยได้ศึกษาผลของอุณหภูมิที่ใช้ในการกระตู้น (Activation) พบว่าที่อุณหภูมิ 600 องศาเซลเซียส ผลคือได้แอกติเวเต็ดคาร์บอนที่มีค่าพื้นที่ผิวจำเพาะที่ดีที่สุด คือ 960, 770 และ 3300 ตารางเมตรต่ogrัม ตามลำดับ

จากการสำรวจงานวิจัยที่เกี่ยวกับวัสดุพูนแบบล้ำดับขั้น และการไฮโดรไลซิสวัสดุชีวนวลดนั้น ล้วนแล้วแต่เป็นชีวมวลลิกโนเซลลูโลส แต่การสำรวจงานวิจัยบางงานได้มีการเตรียมวัสดุสำหรับผลิตเป็นวัสดุพูนแบบล้ำดับขั้นจากวัสดุอื่นๆ ด้วย แต่โดยส่วนมากจะนำวัสดุชีวนวลดามใช้เนื่องจากมีราคาถูก สามารถจัดหาได้ง่าย และยังช่วยในเรื่องของสิ่งแวดล้อม จึงนำมาสูงงานวิจัยนี้ซึ่งเป็นการเตรียมวัสดุตั้งต้นสำหรับผลิตเป็นคาร์บอนที่มีรูพรุนแบบล้ำดับขั้นจากไขบวนแห้ง ซึ่งไขบวนแห้งนั้นจัดเป็นวัสดุลิกโนเซลลูโลส

บทที่ 3

วิธีดำเนินโครงการ

3.1 วัตถุดิบและสารเคมี

3.1.1 วัตถุดิบ

เส้นใยของใบบัวแห้งสายพันธุ์บัวกลม (*Luffa Cylindrica*) ได้จาก雍กแม่ทะจังหวัดลำปาง

3.1.2 สารเคมีที่ใช้ในการทดลอง

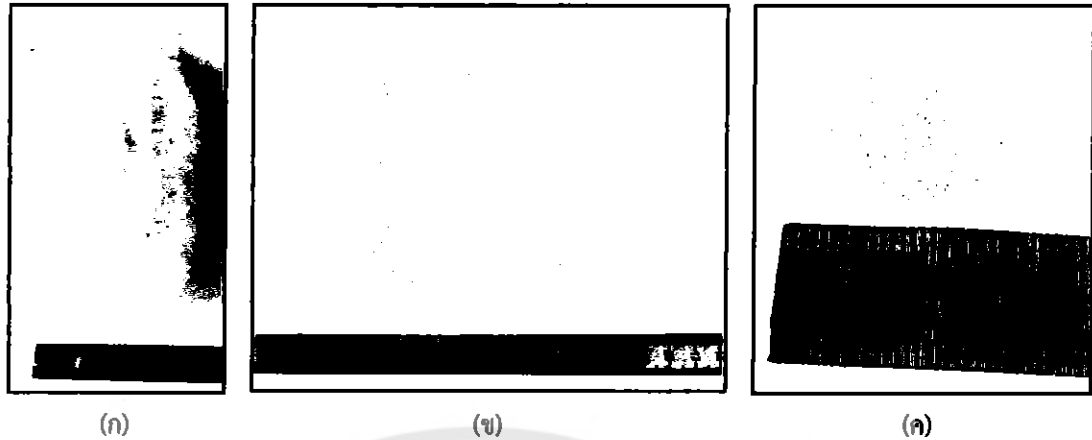
ตารางที่ 3.1 สารเคมีที่ใช้ในการทดลอง

สารเคมี	บริษัทผู้ผลิต / ความบริสุทธิ์	ใช้สำหรับ
H ₂ SO ₄ 96%	RCI LABSCAN LIMITED / 96%	การไฮโดรไลซิสเส้นใยบัว
H ₃ PO ₄ 85%	Merck / 85%	การไฮโดรไลซิสเส้นใยบัว
ZnCl ₂	Ajax Finechem Pty Ltd / 98%	การไฮโดรไลซิสเส้นใยบัว
Sodium lauryl sulphate ; CH ₃ (CH ₂) ₁₁ OSO ₃ Na	Ajax Finechem Pty Ltd	ทำความสะอาดเส้นใยบัว
Cellulose powder ; (C ₆ H ₁₀ O ₅) _n	HIMEDIA	วิเคราะห์เปรียบเทียบคุณสมบัติของเส้นใยบัวในขั้นตอนไฮโดรไลซิส
Lignin, alkali	ALDRICH	วิเคราะห์เปรียบเทียบคุณสมบัติของเส้นใยบัวในขั้นตอนไฮโดรไลซิส
Hemicellulose	-	วิเคราะห์เปรียบเทียบคุณสมบัติของเส้นใยบัวในขั้นตอนไฮโดรไลซิส

3.2 วิธีดำเนินการทดลอง

ในการเตรียมวัสดุตั้งต้นสำหรับผลิตเป็นคาร์บอนที่มีรูพรุนแบบลำดับชั้นที่มีรูปร่างแบบไมโน-

ลิทจากเส้นใยบัวแห้งด้วยวิธีการไฮโดรไลซิสและอัดเส้นใยด้วยความร้อน สามารถแบ่งวิธีการทดลองได้เป็น 3 ขั้นตอนคือ การเตรียมและทำความสะอาดเส้นใย (Pretreatment) การไฮโดรไลซิสเส้นใย (Hydrolysis) และการอัดเส้นใยด้วยความร้อน มีวิธีการโดยละเอียดดังนี้



รูปที่ 3.1 (ก) ไบบวบแห้งที่ยังไม่ได้ตัดแกนออก
 (ข) ไบบวบแห้งด้านนอกและแกนด้านใน
 (ค) ไบบวบแห้งตัดเป็นวงกลมเส้นผ่านศูนย์กลาง 2 เซนติเมตร

3.2.1 ขั้นตอนการเตรียมและทำความสะอาดเส้นใย (Pretreatment)

มีลำดับขั้นตอน ดังนี้

- 3.2.1.1 นำไบบวบแห้งสายพันธุ์บวบกลมดังรูปที่ 3.1(ก) มาตัดแกนข้างในออก ดังรูปที่ 3.1(ข) ซึ่งจะใช้เฉพาะส่วนที่เป็นเส้นใยด้านนอกของไบบวบท่านนั้น
- 3.2.1.2 นำไบบวบที่ตัดแกนออกแล้วมาตัดให้เป็นวงกลมที่มีขนาดเส้นผ่านศูนย์กลางเท่ากับ 2 เซนติเมตร ดังรูปที่ 3.1(ค)

3.2.1.3 เตรียมสารละลายนโซเดียมโลริลซัลเฟต (Sodium lauryl sulphate)

โดยซึ่งสารโซเดียม โลริล ซัลเฟต 0.2 กรัม ละลายในน้ำกลั่น 100 มิลลิลิตร เพื่อนำมาทำความสะอาดไบบวบแห้ง

3.2.1.4 นำเส้นไบบวบแห้งมาใส่ในสารละลายนโซเดียมโลริลซัลเฟต ให้ความร้อนโดยการต้มควบคุมอุณหภูมิที่ 60-65 องศาเซลเซียส

3.2.1.5 ล้างทำความสะอาดด้วยน้ำกลั่นจนฟองของโซเดียมโลริลซัลเฟตหมดไป

3.2.1.6 อบแห้งโดยควบคุมอุณหภูมิที่ 70 องศาเซลเซียส จนกระหงน้ำหนักคงที่

3.2.2 ขั้นตอนการไฮโดรไลซิสเส้นใย (Hydrolysis)

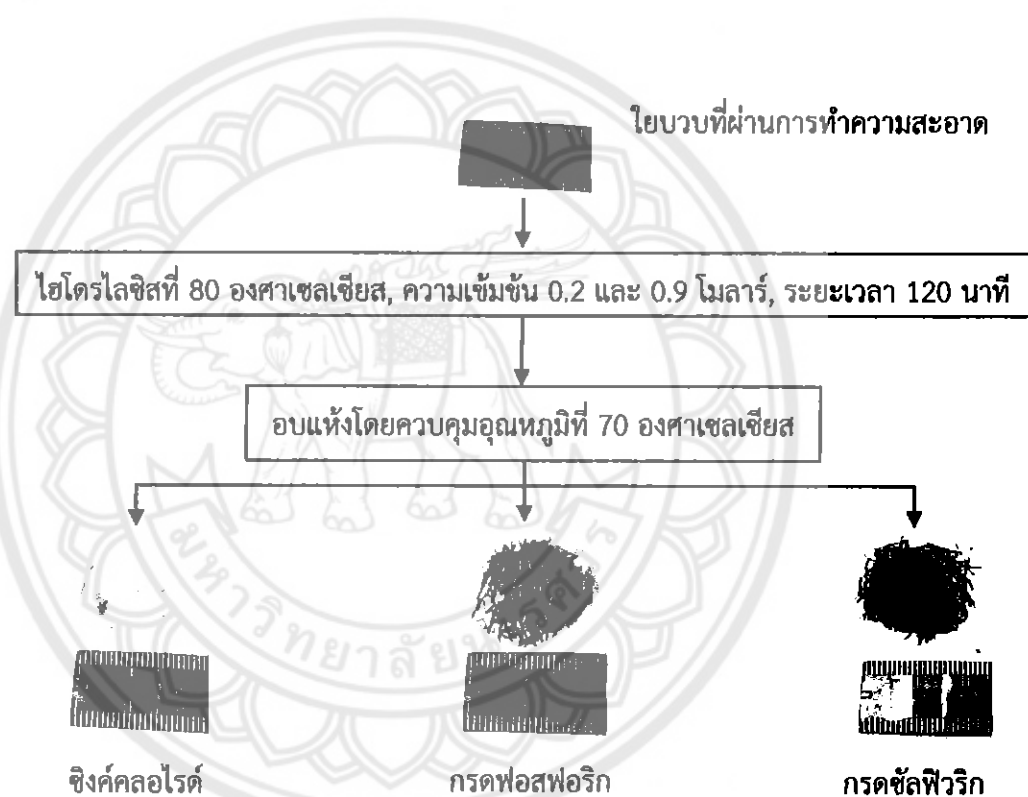
การไฮโดรไลซิสเส้นใยเป็นขั้นตอนที่มีความสำคัญต่อการเตรียมวัสดุตั้งต้น โดยมีขั้นตอนดังนี้

- 3.2.2.1 เตรียมสารละลายนกรดซัลฟิวเริก กรดฟอสฟอริก และซิงค์คลอไรด์ โดยเตรียมสารละลายน้ำมีความเข้มข้น 0.2 และ 0.9 มोลาร์

3.2.2.2 ชิ้น伊始ที่ผ่านการทำความสะอาดแล้ว 5 กรัม นำสารละลายน้ำใส่ใน伊始 แล้วให้ความร้อนโดยควบคุมอุณหภูมิที่ 80–85 องศาเซลเซียส ระยะเวลาที่ใช้ในการไฮโดรไลซิส คือ 120 นาที ทำการไฮโดรไลซิสที่ความเข้มข้น 0.2 และ 0.9 มิลาร์

3.2.2.3 นำไปอบในเตาอบแบบดั้งเดิม ให้กระจายสม่ำเสมอทั่วทั้งถาด เพื่อที่伊始จะได้แห้งโดยทั่วถึง และนำไปอบแห้งในเตาอบ (Oven) จนกระทั่งน้ำหนักคงที่ โดยควบคุมอุณหภูมิในการอบแห้งที่ 70 องศาเซลเซียส

ซึ่งลักษณะ伊始ก่อนการไฮโดรไลซิส ขั้นตอนการไฮโดรไลซิส และลักษณะของ伊始ที่ผ่านการไฮโดรไลซิสแล้ว แสดงดังรูปที่ 3.2



รูปที่ 3.2 แสดงลักษณะ伊始ก่อนและหลังการไฮโดรไลซิส ขั้นตอนการไฮโดรไลซิส รวมถึงตัวแปรที่ทำการปรับเปลี่ยนในขั้นตอนการไฮโดรไลซิส

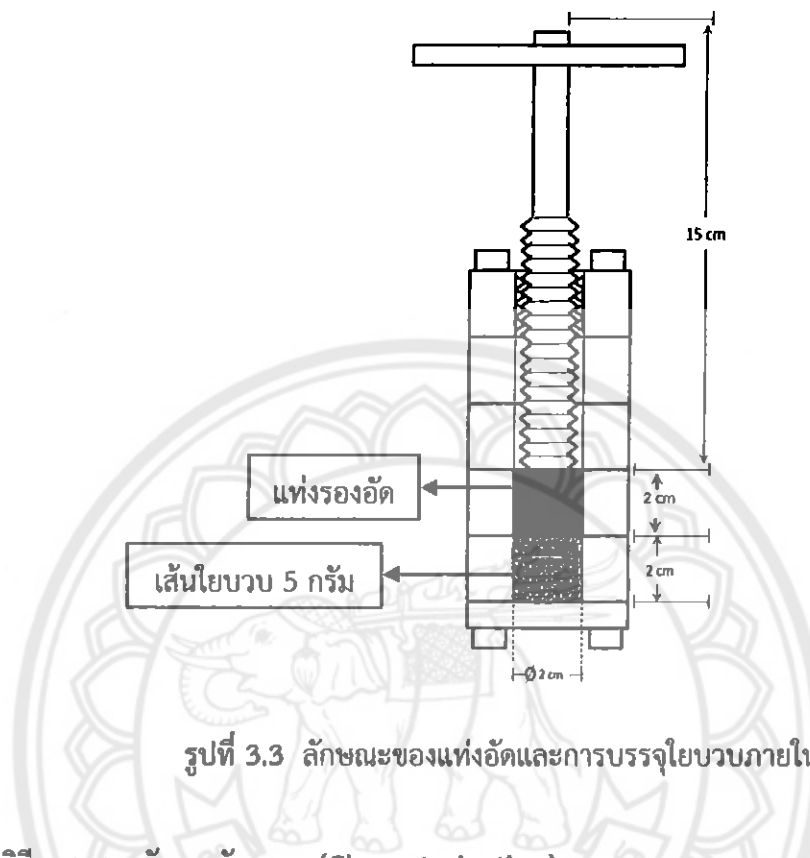
3.2.3 ขั้นตอนการอัดเส้นใยด้วยความร้อน

การอัดเส้นใยด้วยความร้อนนั้นเป็นขั้นตอนที่ขันรูปเส้นใยให้เป็นโนโนลิท โดยมีการดำเนินงานดังนี้

3.2.3.1 ชิ้น伊始ที่ผ่านการทำไฮโดรไลซิส และอบแห้งแล้ว 5 กรัม

3.2.3.2 ใส่伊始ที่ซึ่งลงในแท่งอัดที่มีเส้นผ่าศูนย์กลาง 2 เซนติเมตร ระยะที่อัดลงไปให้ได้ความสูงของ伊始เป็น 2 เซนติเมตร ดังรูปที่ 3.3

3.2.3.3 นำไปอบในเตาอบ (Oven) ที่อุณหภูมิ 180 องศาเซลเซียส ใช้เวลาในการอบ 120 นาที นำแท่งไขบวนออกจากแท่งอัด



รูปที่ 3.3 ลักษณะของแท่งอัดและการบรรจุไขบวนภายในแท่งอัด

3.3 วิธีการตรวจคุณลักษณะ (Characterization)

3.3.1 เทคนิคฟูเรียร์ทرانส์ฟอร์มอินฟราเรดสเปกโตรมิเตอร์ (Fourier Transform Infrared Spectrometer; FT-IR)

ใช้สำหรับวิเคราะห์หาหมู่พิษิกซันของเส้นไขบวนก่อนทำการทดสอบ ก่อนการไฮโดรเจน (หรือหลังทำการทดสอบ) หลังการไฮโดรเจน หลังการอัดขึ้นรูปด้วยความร้อน ซึ่งได้ทำการวิเคราะห์โดยเทคนิค KBr disc ที่ความยาวคลื่น 4,000 – 400 cm^{-1}

3.3.2 เทคนิคเอกซ์เรย์ดิฟแฟรกลั๊น (X-ray Diffraction; XRD)

ใช้เพื่อการวิเคราะห์ลักษณะโครงสร้างผลึกที่มีอยู่ในวัสดุตั้งต้น

3.3.3 การวิเคราะห์คุณสมบัติทางความร้อน (Thermogravimetric Analysis; TGA)

ใช้สำหรับวิเคราะห์ลักษณะการเปลี่ยนแปลงน้ำหนักในแต่ละช่วงอุณหภูมิ เพื่อศึกษาความเสถียรภาพของวัสดุตั้งต้น

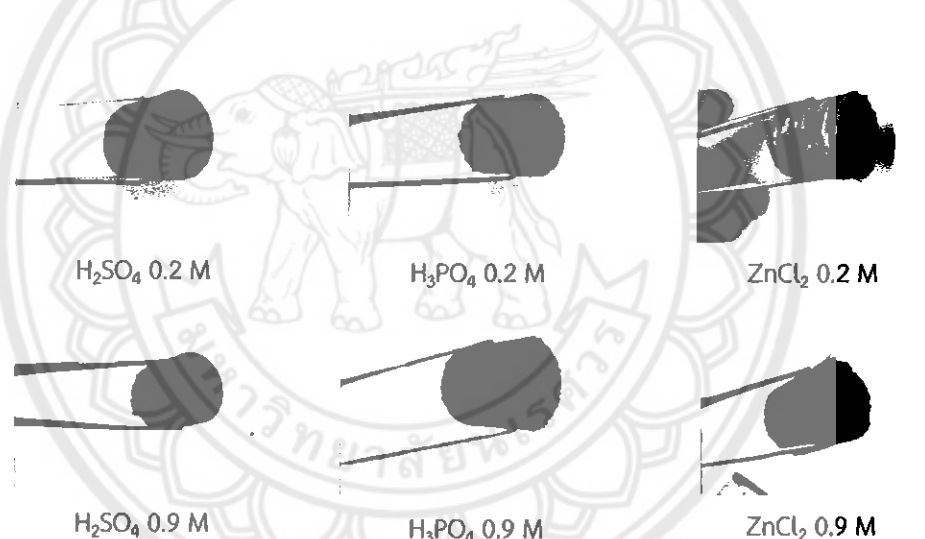
บทที่ 4

ผลการทดลองและการวิเคราะห์

ในการเตรียมวัสดุตั้งต้นสำหรับผลิตเป็นการบอนรูพrun ลำดับขั้นรูปร่างเป็นโมโนลิท จากเส้นใยบวนแห้งสายพันธุ์บวนกลม โดยทำการไฮโดรไลซิสเส้นใยบวนก่อนนำมาอัดขั้นรูปเส้นใยให้เป็นโมโนลิท โดยใช้ความร้อนในการอัดขั้นรูป ผลการทดลองแบ่งออกเป็นส่วนๆ ดังต่อไปนี้

4.1 ผลของสารเคมีและความเข้มข้นที่มีผลต่อการขึ้นรูป

ในการทดลองได้ทำการไฮโดรไลซิสด้วยสารเคมีต่างชนิด 3 ชนิด คือกรดซัลฟิวเริก กรดฟอสฟอริก และซิงค์คลอไรด์ ที่ความเข้มข้น 0.2 และ 0.9 มोลาร์ สารเคมีแต่ละชนิดและแต่ละความเข้มข้น ส่งผลต่อการขึ้นรูปที่ไม่เหมือนกัน สามารถอธิบายได้ดังรูปที่ 4.1



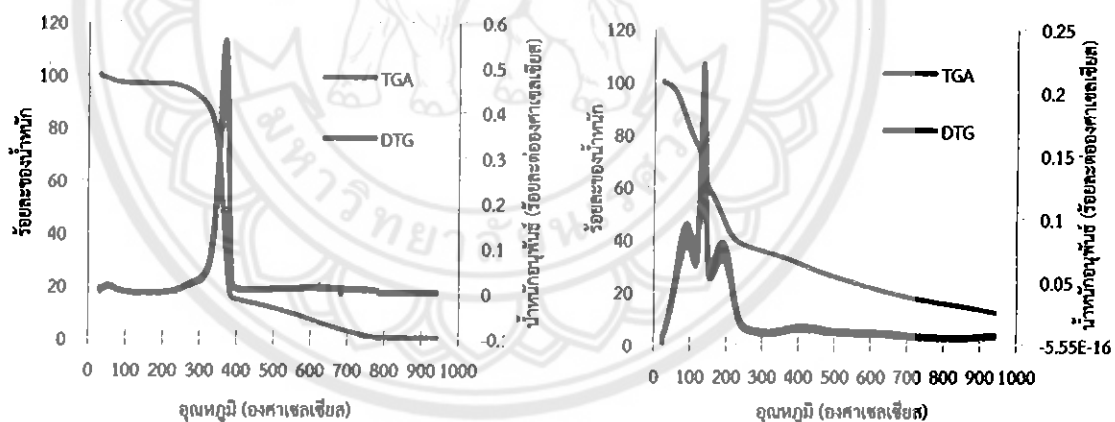
รูปที่ 4.1 ภาพไอบวนที่ผ่านการขึ้นรูปเป็นแท่งโมโนลิท โดยผ่านการไฮโดรไลซิสด้วยกรดซัลฟิวเริก กรดฟอสฟอริก และซิงค์คลอไรด์ ที่ความเข้มข้น 0.2 และ 0.9 มोลาร์

จากรูปที่ 4.1 แสดงให้เห็นผลจากการขึ้นรูปไอบวนที่ผ่านการไฮโดรไลซิสด้วยสารเคมีต่างชนิด กัน ซึ่งในการทดลองที่ความเข้มข้นของสารเคมี 0.2 มोลาร์ เมื่อผ่านการขึ้นรูปที่อุณหภูมิ 180 องศา เชลเซียส พบร้าในตัวอย่างที่เป็นซิงค์คลอไรด์สามารถรักษาอุดตันได้ แต่โครงสร้างภายในไม่เกิดการเขื่อนติดกัน ซึ่งสังเกตเห็นจากไอบวนเกิดการแตกหักในบางตัวอย่างและเสียรูป กรณีการใช้กรดฟอสฟอริก สามารถขึ้นรูปได้แต่ไม่สมบูรณ์เนื่องจากมีการแตกหักในบางตัวอย่างและในกรณีการใช้กรดซัลฟิวเริกให้ผลการขึ้นรูปที่ดี การขึ้นรูปโดยการใช้กรดที่ความเข้มข้น 0.9 มोลาร์ ของสารเคมีทั้ง 3 ชนิด ให้ผลการขึ้นรูป

ดีกว่าเมื่อเปรียบเทียบกับความเข้มข้น 0.2 มอลาร์ อย่างไรก็ตามเมื่อพิจารณาสมบัติทางกายภาพและความสามารถในการทำซ้ำ พบร้ากรดซัลฟิว蕊ค ที่ความเข้มข้น 0.9 มอลาร์ สามารถขึ้นรูปโนโนลิตได้ดีที่สุด เนื่องจากเกิดการเชื่อมติดของโครงสร้างขึ้น ดังนั้นตัวอย่างที่ผ่านการขึ้นรูปเป็นแท่งโนโนลิตโดยการไฮโดรไลซิสด้วยกรดซัลฟิว蕊ความเข้มข้น 0.9 มอลาร์ จะถูกนำไปวิเคราะห์สมบัติต่างๆ ต่อไป เช่น สมบัติทางด้านเคมี สมบัติทางด้านความร้อน และความเป็นผลึก เพื่อศึกษาความเป็นไปได้ในการเป็นวัสดุตั้งต้นสำหรับผลิตเป็นคาร์บอนที่มีรูพรุนแบบลำดับขั้น โดยคุณสมบัติของแท่งโนโนลิตที่เตรียมได้นั้นภายในจะต้องเชื่อมติดกัน เนื่องจากต้องการนำไปประยุกต์ใช้ต่อเพื่อเป็นตัวรีรูป เอ็นไซม์ขึ้นเดียว เน้นโครงสร้างรูพรุนแบบหลุกถังแท่ง เพื่อช่วยให้การถ่ายโอนมวลเกิดขึ้นได้มากๆ

4.2 การวิเคราะห์คุณสมบัติทางความร้อน

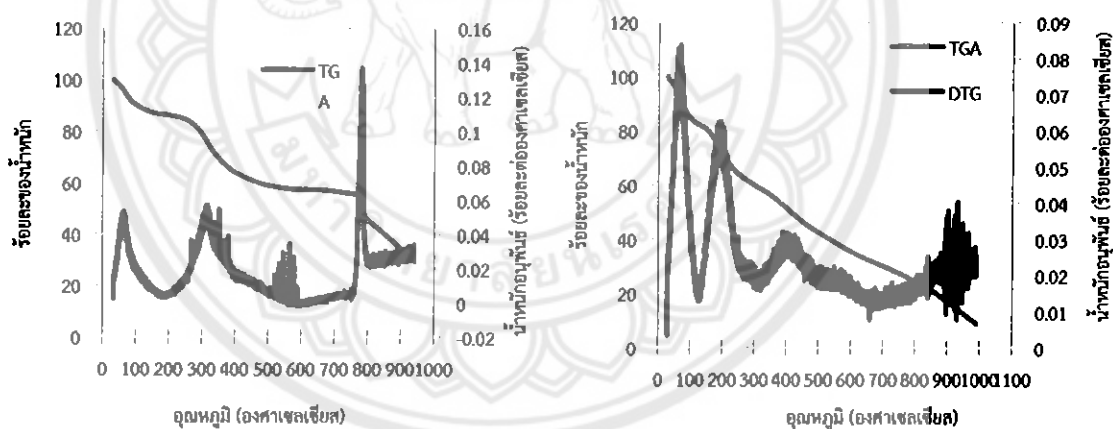
จากการทดลองการวิเคราะห์ด้วยเครื่อง TGA ภายใต้สภาวะของแก๊สในโตรเจน อัตราการให้ความร้อนของเครื่องวิเคราะห์คือ 10 องศาเซลเซียสต่อนาที ทำให้ได้ผลการวิเคราะห์ และสร้างกราฟ TGA (Thermogravimetric Analysis) และกราฟ DTG (Differential Thermal Analysis) ซึ่งเป็นกราฟอนุพันธ์ของกราฟ TGA ได้ดังรูปต่อไปนี้



รูปที่ 4.2 กราฟ TGA และ DTG ของ (ซ้าย) ผงเซลลูโลส และ (ขวา) ผงเซลลูโลสที่ผ่านการไฮโดรไลซิสด้วยกรดซัลฟิว蕊ความเข้มข้น 0.9 มอลาร์

รูปที่ 4.2 เป็นกราฟ TGA และ DTG ของผงเซลลูโลส และผงเซลลูโลสที่ผ่านการไฮโดรไลซิสด้วยกรดซัลฟิว蕊ความเข้มข้น 0.9 มอลาร์ พิจารณากราฟของผงเซลลูโลส ร้อยละของน้ำหนักเริ่มเกิดการลดลงในช่วงอุณหภูมิต่ำกว่า 100 องศาเซลเซียส ที่ประมาณ 50 องศาเซลเซียส ร้อยละของน้ำหนักที่ลดลงนี้เป็นการເเอกสารความชื้นออก [23] ที่ช่วงอุณหภูมิ 320 – 400 องศาเซลเซียส มีการลดลงของร้อยละของน้ำหนักเท่ากับร้อยละ 77 ของน้ำหนัก ซึ่งเป็นผลของการเสื่อมสภาพของพันธะไฮโดรเจนภายในเล็กๆ ของเซลลูโลส [23] พิจารณากราฟของผงเซลลูโลสที่ได้ผ่านการไฮโดรไลซิส

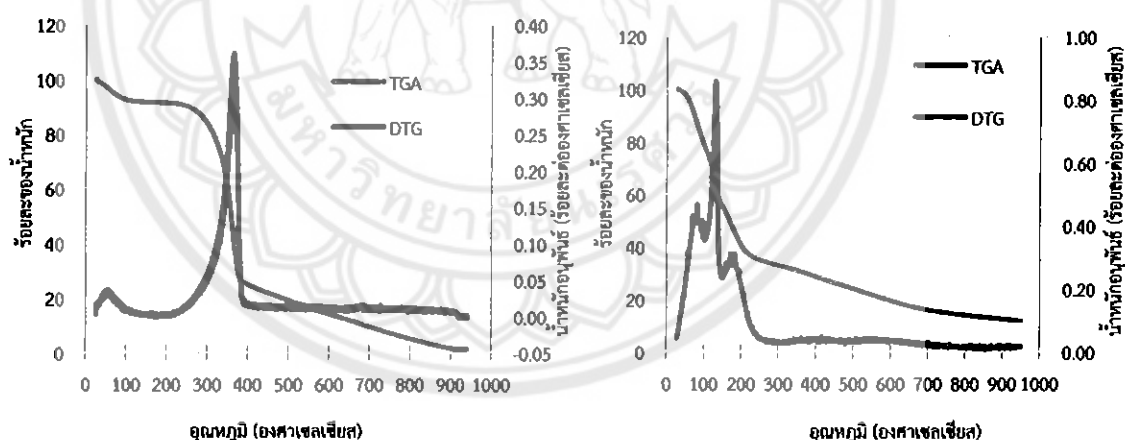
การเปลี่ยนแปลงของร้อยละของมวลน้ำเกิดขึ้นที่หลายๆ ช่วงอุณหภูมิ ที่อุณหภูมิ 100 องศาเซลเซียส ซึ่งเป็นอุณหภูมิที่สูงกว่าผงเซลลูโลส เนื่องจากการเปลี่ยนแปลงของร้อยละน้ำหนักในช่วงอุณหภูมนี้ เป็นการเอาความชื้นออก ผงเซลลูโลสที่ผ่านการไฮโดรไลซ์ด้วยกรดฟอฟอริกนั้มีความชื้นที่มากกว่าผงเซลลูโลสธรรมชาติ ดังนั้นการเปลี่ยนแปลงของน้ำหนักในช่วงอุณหภูมนี้ของผงเซลลูโลสที่ผ่านการไฮโดรไลซ์จึงใช้อุณหภูมิที่มากกว่าผงเซลลูโลสธรรมชาติ ใน การเปลี่ยนแปลงร้อยละของน้ำหนักคือ ที่อุณหภูมิ 150-180 องศาเซลเซียส เป็นการเสื่อมสภาพของพันธะไฮโดรเจนที่อยู่ภายในโมเลกุลของเซลลูโลส ซึ่งอุณหภูมิของผงเซลลูโลสที่ไฮโดรไลซ์สนับท่ากว่าอุณหภูมิของผงเซลลูโลสธรรมชาติ แสดงให้เห็นว่าเซลลูโลสที่ผ่านการไฮโดรไลซ์ด้วยกรดนั้นมีการเสื่อมสภาพของพันธะไฮโดรเจนที่อุณหภูมิต่ำกว่า และการเปลี่ยนแปลงของร้อยละของน้ำหนัก 180-240 องศาเซลเซียส เป็นการเสื่อมสภาพขององค์ประกอบต่างๆ ที่อยู่ภายในโมเลกุลของเซลลูโลส ซึ่งอาจจะประกอบไปด้วยองค์ประกอบของเซลลูโลส และสารเคมีที่สามารถแทรกเข้าไปอยู่ในโครงสร้างของ และอุณหภูมิหลังจากนั้นเซลลูโลสได้เกิดการเสื่อมสภาพทางความร้อน [23] การเปลี่ยนแปลงของร้อยละของน้ำหนักจะเกิดน้อยมากหรืออาจไม่เกิดการเปลี่ยนแปลงเลย ซึ่งผงเซลลูโลสที่ไฮโดรไลซ์ในช่วงอุณหภูมิ 900 องศาเซลเซียส ยังคงเหลือร้อยละ 15 ของน้ำหนัก ส่วนผงเซลลูโลสธรรมดามีเหลือเพียงร้อยละ 0.1 เท่านั้น ซึ่งเป็นยืนยันว่าเซลลูโลสที่ผ่านการไฮโดรไลซ์นั้นมีเสื่อมสภาพทางความร้อนที่เพิ่มขึ้น



รูปที่ 4.3 กราฟ TGA และ DTG ของ (ซ้าย) ผงลิกนิน และ (ขวา) ผงลิกนินที่ผ่านการไฮโดรไลซ์ด้วยกรดซัลฟิวริกความเข้มข้น 0.9 โมลาร์

รูปที่ 4.3 กราฟ TGA และกราฟ DTG ของผงลิกนิน และผงลิกนินที่ผ่านการไฮโดรไลซ์ด้วยกรดซัลฟิวริกความเข้มข้น 0.9 โมลาร์ พิจารณากราฟของผงลิกนินธรรมชาติ เริ่มมีการเปลี่ยนแปลงของร้อยละของน้ำหนักที่อุณหภูมิ 40-140 องศาเซลเซียส มีการเปลี่ยนแปลงร้อยละ 10 ของน้ำหนัก ที่อุณหภูมิ 200-400 องศาเซลเซียส มีการเปลี่ยนแปลงร้อยละ 30 ของน้ำหนัก ที่อุณหภูมิ 500-600 องศาเซลเซียส มีการเปลี่ยนแปลงของร้อยละน้ำหนักเพียงเล็กน้อย และที่อุณหภูมิ 80-800 องศาเซลเซียส มีการเปลี่ยนแปลงร้อยละ 30 ของน้ำหนัก ซึ่งการเปลี่ยนแปลงของร้อยละของน้ำหนักแต่ละ

ช่วงของอุณหภูมิมีการเปลี่ยนแปลงของร้อยละของน้ำหนักที่สมำเสมอและเกิดการเปลี่ยนแปลงอย่างต่อเนื่อง ใน การพิจารณากราฟของผงลิกนินที่ผ่านการไอล์ดไรเลซิสด้วยกรดซัลฟิวริก 0.9 มोลาร์ มีการเปลี่ยนแปลงร้อยละของน้ำหนักเข่นเดียวกับผงลิกนินธรรมชาติ โดยเริ่มมีการเปลี่ยนแปลงของร้อยละของน้ำหนักที่อุณหภูมิ 40-140 องศาเซลเซียส เข่นเดียวกับผงลิกนินธรรมชาติ มีการเปลี่ยนแปลงร้อยละ 12 ของน้ำหนัก ที่อุณหภูมิ 140-300 องศาเซลเซียส ซึ่งเป็นช่วงอุณหภูมิที่ต่ำกว่าผงลิกนินธรรมชาติ มีการเปลี่ยนแปลงร้อยละ 22 ของน้ำหนัก ที่อุณหภูมิ 300-500 องศาเซลเซียส เป็นช่วงอุณหภูมิที่ต่ำกว่าผงลิกนินธรรมชาติ มีการเปลี่ยนแปลงร้อยละ 10 ของน้ำหนัก และที่อุณหภูมิ 900 องศาเซลเซียส เริ่มมีการเปลี่ยนแปลงของร้อยละของน้ำหนักที่น้อยมากหรืออาจไม่มีการเปลี่ยนแปลงเลย หากพิจารณาทั้งสองกราฟควบคู่กันแล้ว จะเห็นการเปลี่ยนแปลงของร้อยละของน้ำหนักของลิกนินอย่างต่อเนื่องและสมำเสมอทั้งคู่ แต่อุณหภูมิของการเปลี่ยนแปลงของร้อยละน้ำหนักของลิกนินที่ผ่านการไอล์ดไรเลซิสใช้อุณหภูมิที่ต่ำกว่าผงลิกนินธรรมชาติ แสดงให้เห็นว่าการไอล์ดไรเลซิสด้วยกรดนี้ทำให้อุณหภูมิการเสื่อมสลายของลิกนินลดลง แต่หากดูภาพรวมของกราฟทั้งสองจะเห็นว่ามีการเปลี่ยนแปลงร้อยละของน้ำหนักที่สมำเสมอ และในช่วงสุดท้ายของอุณหภูมิ ผงลิกนินธรรมดายังคงเหลือร้อยละ 30 ของน้ำหนัก ส่วนผงลิกนินที่ผ่านการไอล์ดไรเลซิสยังคงเหลืออยู่ร้อยละ 10 ของน้ำหนัก ซึ่งเป็นผลมาจากการสร้างไม้เล็กน้อยของลิกนินนั้นเป็นโครงสร้างที่ซับซ้อน [22] ยกต่อการเสื่อมสลาย



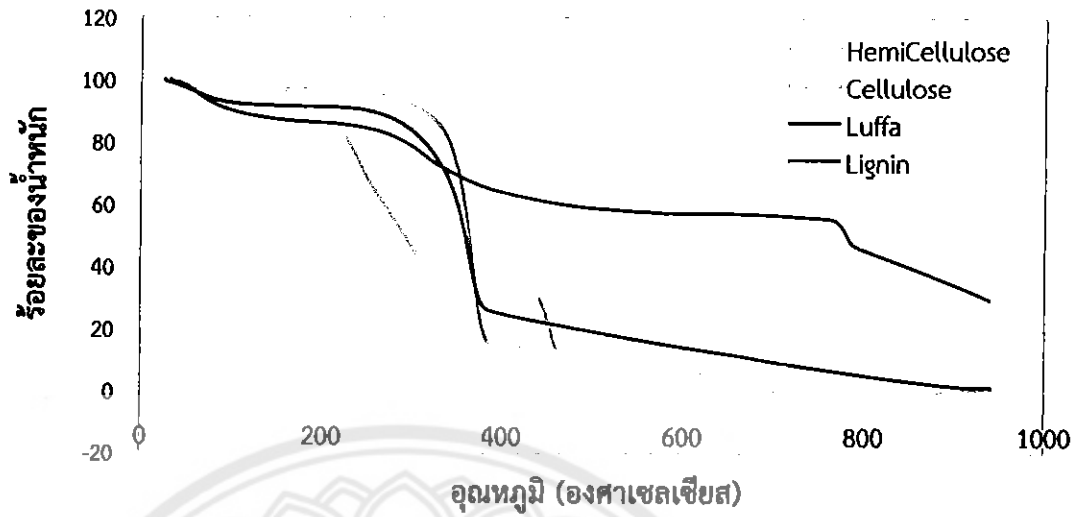
รูปที่ 4.4 กราฟ TGA และ DTG ของ (ซ้าย) ไบบวนแห้ง และ (ขวา) ไบบวนแห้งที่ผ่านการไอล์ดไรเลซิสด้วยกรดซัลฟิวริกความเข้มข้น 0.9 มोลาร์

รูปที่ 4.4 กราฟ TGA และ DTG ของเส้นไบบวนแห้ง และเส้นไบบวนแห้งที่ผ่านการไอล์ดไรเลซิสพิจารณากราฟไบบวนแห้งธรรมชาติ มีการเปลี่ยนแปลงของน้ำหนักในหลายช่วงอุณหภูมิ ที่ช่วงอุณหภูมิ 40-100 องศาเซลเซียส มีการเปลี่ยนแปลงร้อยละ 10 ของน้ำหนัก เป็นการเจาความชื้นออก ที่ช่วงอุณหภูมิ 220-390 องศาเซลเซียส มีการเปลี่ยนแปลงร้อยละ 60 ของน้ำหนัก เป็นช่วงของการเสื่อมสลายของพันธะไอล์ดเรน และช่วงอุณหภูมิหลังจากนั้นไบบวนแห้งมีการเปลี่ยนแปลงของร้อยละของ

น้ำหนักเพียงเล็กน้อย แสดงถึงไข่บวนเริ่มนีการเปลี่ยนแปลงร้อยละของน้ำหนักเพียงเล็กน้อย ใน การ นำไข่บวนแห้งมาทำการขึ้นรูปที่อุณหภูมิ 180 องศาเซลเซียส พบว่าโครงสร้างหลังจากขึ้นรูปไม่ สมบูรณ์ คือมีการแตกหักของแท่งโนโนลิทและไม่เกิดการยึดติดของโครงสร้าง ซึ่งอธิบายได้ว่าอุณหภูมิ ที่ใช้ขึ้นรูปต่ำกว่าอุณหภูมิที่ไข่บวนมีการเปลี่ยนแปลงทางกายภาพ ซึ่งทำให้ไม่สามารถรวมเป็นเนื้อ เดียวกันหรือสถานกันได้ ดังแสดงในรูปที่ 4.5 ต่อมาก็จะทราบจากภาพไข่บวนแห้งที่ผ่านการไฮโดรไลซิส ด้วยกรดซัลฟิวริกความเข้มข้น 0.9 โมลาร์ มีการเปลี่ยนแปลงของร้อยละของน้ำหนักที่ช่วงอุณหภูมิ 30 - 100 องศาเซลเซียส 100-180 องศาเซลเซียส และ 180-300 องศาเซลเซียส ซึ่งหาก เปรียบเทียบกับรูปที่ 4.2 กราฟ TGA และ DTG ของผงเซลลูโลส และผงเซลลูโลสที่ผ่านการไฮโดรไล- ซิสด้วยกรดซัลฟิวริกความเข้มข้น 0.9 โมลาร์ จะเห็นว่าการฟอกของเซลลูโลสและไข่บวนแห้งมีแนวโน้ม ที่ค่อนข้างคล้ายกัน ซึ่งเป็นผลที่ยืนยันว่าไข่บวนนั้นมีองค์ประกอบของเซลลูโลสเป็นองค์ประกอบหลัก ดังนั้นการเปลี่ยนแปลงของไข่บวนในแต่ละช่วงอุณหภูมิจึงมีการเปลี่ยนแปลงที่คล้ายกับเซลลูโลส พิจารณาที่ช่วงอุณหภูมิของการเปลี่ยนแปลงของร้อยละของมวล ช่วงที่เกิดการเปลี่ยนแปลงมวลของ ไข่บวนมากที่สุดอยู่ในช่วงอุณหภูมิ 180 องศาเซลเซียส เห็นได้ว่าการไฮโดรไลซิสด้วยกรดซัลฟิวริกจะ ส่งผลต่อเสถียรภาพทางความร้อนของไข่บวน กล่าวคือทำให้อุณหภูมิที่เกิดการย่อยสลายลดลงจาก 390 องศาเซลเซียส เหลือ 180 องศาเซลเซียส เมื่อนำไข่บวนที่ผ่านการไฮโดรไลซิสด้วยกรดซัลฟิวริก ไปอัดขึ้นรูปเป็นแท่งโนโนลิท โดยอุณหภูมิที่ใช้ในการขึ้นรูป คือ 180 องศาเซลเซียส จะทำให้ได้แท่งโน โนลิทที่เกิดจากการยึดติดของโครงสร้างภายใต้แรงดึงดูด ซึ่งจากอุณหภูมิที่ใช้ในการขึ้นรูปคือ 180 องศาเซลเซียส เป็นอุณหภูมิที่ใกล้เคียงกับอุณหภูมิไข่บวนเริ่มเกิดการย่อยสลาย เมื่อทำการอัด แท่งขึ้นรูปจะทำให้โครงสร้างภายในแท่งโนโนลิทของไข่บวนเกิดการยึดติดกันได้ดีขึ้น



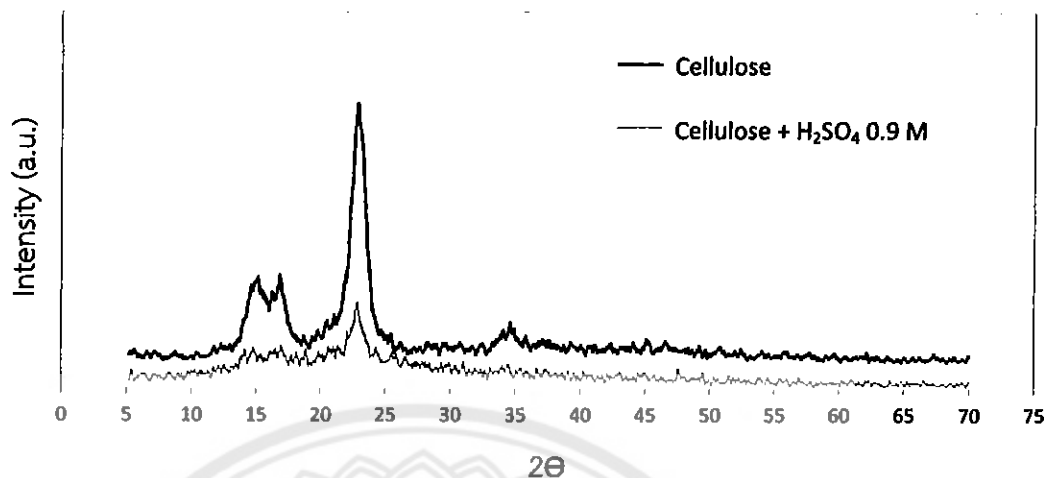
รูปที่ 4.5 แท่งโนโนลิಥของไข่บวนแห้ง



รูปที่ 4.6 กราฟ TGA ของเซลลูโลส ลิกนิน เอมิเซลลูโลส และเส้นใยบัวแห้ง

จากรูปที่ 4.6 แสดงการเปรียบเทียบผล TGA ของเซลลูโลส เอมิเซลลูโลส ลิกนิน และเส้นใยบัวแห้ง โดยเส้นใยบัวนี้มีองค์ประกอบเป็น เซลลูโลสร้อยละ 60 เอมิเซลลูโลสร้อยละ 30 และ ลิกนินร้อยละ 10 ขององค์ประกอบของใบบัวทั้งหมด [18] ผลการทดลองพบว่า ลิกนินมีเสถียรภาพ ทางความร้อนที่ดีที่สุดเมื่อเปรียบเทียบกับเซลลูโลส เอมิเซลลูโลส และเส้นใยบัว กราฟ TGA ของ เส้นใยบัวมีลักษณะคล้ายคลึงกับเซลลูโลส ที่อุณหภูมิเดียวกันเซลลูโลสและเอมิเซลลูโลสเกิดการย่อย สามารถกว่าใบบัว แสดงให้เห็นว่าเส้นใยบัวมีความเสถียรภาพทางความร้อนมากกว่าเซลลูโลส และเอมิเซลลูโลส ซึ่งเป็นผลมาจากการมีองค์ประกอบของลิกนิน ลิกนินมีความเสถียรภาพทาง ความร้อนสูง จึงส่งผลทำให้เส้นใยบัวแห้งนี้มีการเปลี่ยนแปลงของลักษณะกราฟที่คล้ายกับ เซลลูโลสและเอมิเซลลูโลส แต่มีความเสถียรภาพที่ดีกว่า เพราะมีส่วนประกอบของลิกนินด้วย

4.3 เทคนิคเอกซ์เรย์ดิฟแฟร์กชัน

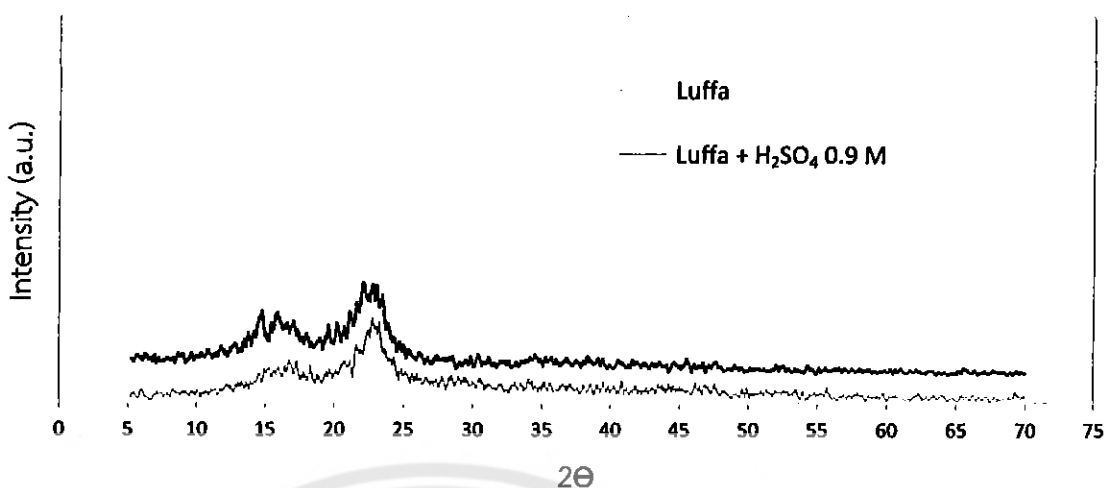


รูปที่ 4.7 รูปแบบการเลี้ยวเบนรังสีเอกซ์ของผงเซลลูโลส และผงเซลลูโลสที่ไฮโดรไอลิซต์ ด้วยกรดซัลฟิวริกที่ความเข้มข้น 0.9 มोลาร์

จากการวิเคราะห์พบว่า ตัวอย่างที่ผ่านการไฮโดรไอลิซด้วยกรดซัลฟิวริกที่ความเข้มข้น 0.9 มोลาร์ มีรูปแบบการเลี้ยวเบนแตกต่างจากผงเซลลูโลสบริสุทธิ์ องศาที่เกิดการเลี้ยวเบนแสดงเพียงตำแหน่งของหาที่ 22.75 ซึ่งสามารถบอกได้ว่า การไฮโดรไอลิซส่งผลให้เกิดการเปลี่ยนแปลงในโครงสร้างผลึกของเซลลูโลส โดยสามารถดูได้จากร้อยละความเป็นผลึกที่เปลี่ยนไป ดังตารางที่ 4.1 ที่ร้อยละความเป็นผลึกของผงเซลลูโลสบริสุทธิ์ มีความเป็นผลึกถึงร้อยละ 93.13 แต่สำหรับผงเซลลูโลสที่ไฮโดรไอลิซด้วยกรดซัลฟิวริก ที่ความเข้มข้น 0.9 มोลาร์ มีร้อยละความเป็นผลึกเพียง 85.48 เนื่องจากการไฮโดรไอลิซเซลลูโลสด้วยกรดซัลฟิวริกที่ความเข้มข้น 0.9 มोลาร์ ส่งผลให้โครงสร้างบางส่วนของเซลลูโลสเปลี่ยนแปลงหรือมีการสลายตัวของโครงสร้างบางส่วน ซึ่งเป็นผลให้โครงสร้างความเป็นผลึกของเซลลูโลสลดลง หรือเปลี่ยนเป็นอสังฐานนั่นเอง

ตารางที่ 4.1 แสดงค่าร้อยละความเป็นผลึกของเซลลูโลส ในผงเซลลูโลสบริสุทธิ์และผงเซลลูโลสที่ไฮโดรไอลิซด้วยกรดซัลฟิวริก ที่ความเข้มข้น 0.9 มोลาร์

ตัวอย่าง	% Crystallinity (% Cr)	Crystallinity Index (C.I.)
ผงเซลลูโลสบริสุทธิ์	93.13	0.93
ผงเซลลูโลสที่ไฮโดรไอลิซด้วยกรดซัลฟิวริก ที่ความเข้มข้น 0.9 มोลาร์	85.48	0.83



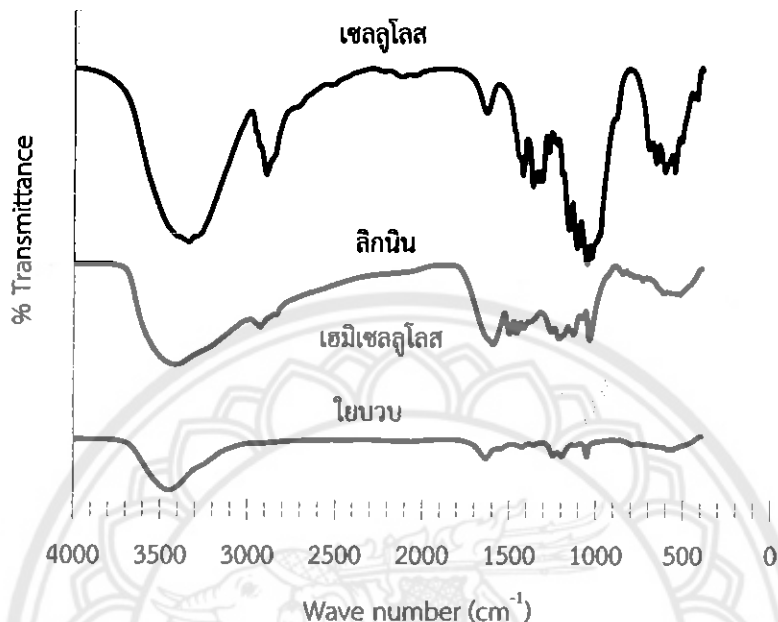
รูปที่ 4.8 รูปแบบการเลี้ยวเบนรังสีเอ็กซ์ของไยบวน และไยบวนที่ไฮโดรไลซิสด้วยกรดซัลฟิวริก ความเข้มข้น 0.9 มोลาร์

จากการวิเคราะห์พบว่า เมื่อพิจารณารูปแบบการเลี้ยวเบนของรังสีเอ็กซ์สำหรับไยบวนและไบบวนที่ตริงกรดซัลฟิวริก ในรูปที่ 4.8 พบว่าไยบวนที่ไยบวนที่ไฮโดรไลซิสด้วยกรดซัลฟิวริกที่ความเข้มข้น 0.9 มोลาร์ มีการเปลี่ยนแปลงต่างจากไยบวนธรรมชาติท่องศาสต์ฯ หายไป หรือมีความเข้มของรังสีเอ็กซ์ลดลง อาจเป็นผลมาจากการเป็นผลึกของโครงสร้างหลักลดลง โดยโครงสร้างหลักของไยบวนคือเซลลูโลส จะแสดงได้ดังตาราง 4.2 ซึ่งแสดงร้อยละความเป็นผลึกของเซลลูโลส ทำให้เห็นชัดว่าความเป็นผลึกของโครงสร้างหลักในไยบวนลดลงจาก 82.24 เป็น 77.85 เมื่อถูกไฮโดรไลซิสด้วยกรดซัลฟิวริกที่ความเข้มข้น 0.9 มोลาร์ ซึ่งเป็นผลมาจากการเป็นผลึกของโครงสร้างไยบวน ที่มีส่วนประกอบหลักเป็นเซลลูโลส ลดลงหรือเปลี่ยนเป็นสันฐาน ซึ่งเป็นผลทำให้ เมื่อนำไยบวนที่ผ่านการไฮโดรไลซ์แล้วไปขึ้นรูป จะสามารถทำให้เกิดการเข้มต่อ กันเพราะความเป็นผลึกของโครงสร้างลดลง กล้ายเป็นรูปแบบที่เหมาะสมสำหรับการอัดขึ้นรูป เนื่องด้วยการท่อตะกอนแต่ละตะกอนจับกันเป็นโครงสร้างที่ไม่แน่นอน ทำให้มีโอกาสในการจับตัวกับตะกอนอื่น และทำให้เกิดการยืดติดกันใหม่หลังจากผ่านการอัดขึ้นรูปที่อุณหภูมิ 180 องศาเซลเซียส ได้

ตารางที่ 4.2 แสดงค่าร้อยละความเป็นผลึกของเซลลูโลส ในไยบวนและไยบวนที่ไฮโดรไลซิสด้วยกรดซัลฟิวริก ที่ความเข้มข้น 0.9 มोลาร์

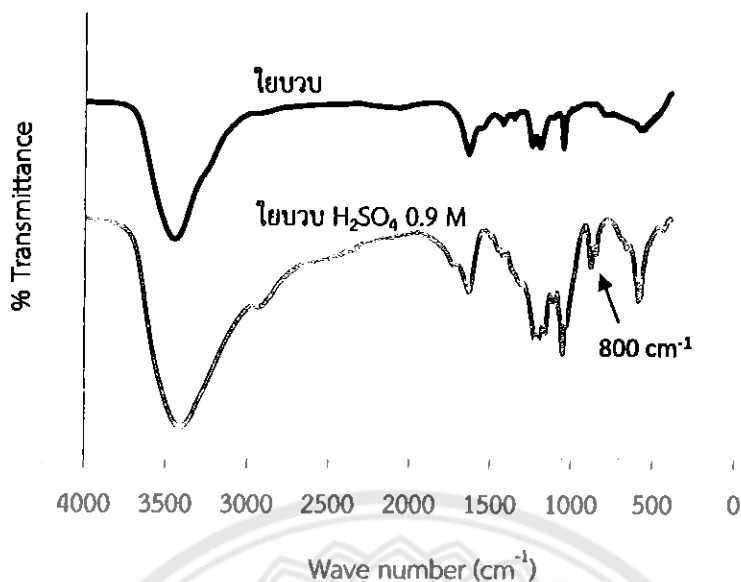
ตัวอย่าง	% Crystallinity (% Cr)	Crystallinity Index (C.I.)
ไยบวน	82.24	0.78
ไยบวนที่ไฮโดรไลซิสด้วยกรดซัลฟิวริก ที่ความเข้มข้น 0.9 มोลาร์	77.85	0.71

4.4 การวิเคราะห์สมบัติทางด้านเคมีด้วยเทคนิคฟูเรียร์ทรายสฟอร์มอินฟราเรด สเปกไตรามิเตอร์



รูปที่ 4.9 สเปกตรัม FTIR ของเซลลูโลส ลิกนิน เอมิเซลลูโลส และไฮบานแห้ง

รูปที่ 4.9 แสดงผลการวิเคราะห์ด้วยเทคนิคฟูเรียร์ทรายสฟอร์มอินฟราเรดสเปกไตรามิเตอร์พบว่า สเปกตรัมของเซลลูโลส ลิกนิน เอมิเซลลูโลส และไฮบานประกอบด้วยหมู่หัวที่เหมือนกัน คือ หมู่ ไฮดรอกซี (O-H) ที่ตำแหน่งเลขคิ่น 3500 ซม⁻¹ แสดงถึงหมู่ O-H ของแอลกอฮอล์ เมื่อจากมีพิค ร่วมที่ 1250 – 1050 ซม⁻¹ ที่ตำแหน่งเลขคิ่น 2900 ซม⁻¹ แสดงถึงหมู่ C-H ที่ตำแหน่งเลขคิ่น 1680 ซม⁻¹ แสดงถึงหมู่ C=C ของอัลคีน และที่ตำแหน่งเลขคิ่น 1050-1300 ซม⁻¹ แสดงถึงหมู่ C-O ซึ่งส่วนสเปกตรัมทั้งสี่ส่วนมีพิคที่เป็นองค์ประกอบหลักที่เหมือนกัน ซึ่งชี้ให้เห็นว่าไฮบานมีองค์ประกอบ ของเซลลูโลส ลิกนิน และเอมิเซลลูโลส



รูปที่ 4.10 สเปกตรัม FTIR ของไยบวนแห้ง และไยบวนแห้งที่ทำการไฮโดรไลซิส ด้วยกรดซัลฟิวริกความเข้มข้น 0.9 มोลาร์

รูปที่ 4.10 แสดงการวิเคราะห์ผลด้วยเทคนิคฟูเรียร์ทรายสฟอร์มอินฟราเรดสเปกโตรมิเตอร์ของไยบวนแห้งและไยบวนแห้งที่ผ่านการไฮโดรไลซิสด้วยกรดซัลฟิวริกความเข้มข้น 0.9 มोลาร์ พนบว่า สเปกตรัมของไยบวนแห้งและไยบวนที่ผ่านการไฮโดรไลซิสด้วยกรดซัลฟิวริก ประกอบด้วยหมู่ฟังที่ เหมือนกัน คือ หมู่ไฮดรอกซิ (O-H) ที่ตำแหน่งเลขคื่น 3500 ชม⁻¹ ซึ่งเป็น O-H ของแอลกอฮอล์ เนื่องจากมีพิคร่วมที่ 1250–1050 ชม⁻¹ ที่ตำแหน่งเลขคื่น 2900 ชม⁻¹ แสดงถึงหมู่ C-H ที่ตำแหน่ง เลขคื่น 2900 ชม⁻¹ แสดงถึงหมู่ C-H ที่ตำแหน่งเลขคื่น 1680 ชม⁻¹ แสดงถึงหมู่ C=C ของอัลคีน และที่ตำแหน่งเลขคื่น 1050-1300 ชม⁻¹ แสดงถึงหมู่ C-O ซึ่งเส้นสเปกตรัมทั้งสองเส้นมีช่วงพิคองค์ ประกอบหลักที่เหมือนกัน แต่ที่ตำแหน่งเลขคื่น 800 ชม⁻¹ ของกราฟไยบวนที่ผ่านการไฮโดรไลซิส เป็นพิคที่ไม่เกิดในไยบวนแห้งธรรมชาติ และง่าว่าการไฮโดรไลซิสด้วยกรดซัลฟิวริกนั้นไม่ส่งผลให้เกิดการ เปลี่ยนแปลงทางองค์ประกอบทางด้านเคมี แต่การไฮโดรไลซิสนั้นทำให้เกิดการเปลี่ยนแปลงทางด้าน โครงสร้าง

บทที่ 5

บทสรุปและข้อเสนอแนะ

5.1 สรุปผลการดำเนินโครงการ

จากการศึกษาการขึ้นอัดขึ้นรูปแท่งโนโนลิท โดยศึกษาถึงผลของสารเคมี ความเข้มข้นของสารเคมี โดยใช้สารเคมี 3 ชนิด คือ กรดซัลฟิวริก กรดฟอสฟอริก และซิงค์คลอไรต์ ที่ 2 ความเข้มข้นคือ 0.2 และ 0.9 มอลาร์ เมื่อศึกษาทางลักษณะกายภาพ และความสามารถในการทำซ้ำของตัวอย่างสามารถสรุปได้ว่ากรดซัลฟิวริก ที่ความเข้มข้น 0.9 มอลาร์ ให้ผลในการอัดขึ้นรูปด้วยความร้อนดีที่สุด และแท่งโนโนลิทที่ได้จากการไฮโดรไลซิสด้วยกรดซัลฟิวริกเกิดการเชื่อมติดกันของโครงสร้างภายในได้ดีที่สุด โดยการเชื่อมติดกันภายในโครงสร้างเป็นผลจากการไฮโดรไลซิสด้วยกรดซัลฟิวริก ส่งผลให้อุณหภูมิในการย่อyley ของไบบูลดลง ซึ่งสอดคล้องกับอุณหภูมิที่ใช้ในการอัดขึ้นรูป คือ 180 องศาเซลเซียส ทำให้เกิดการเชื่อมติดกันของโครงสร้าง ผลการวิเคราะห์ของเทคนิคเอกซ์เรย์ดิฟ-แฟร์กชัน พบว่าการไฮโดรไลซิสส่งผลทำให้ความเป็นผลลัพธ์ของไบบูลดลง หรือมีความเป็นอสัมฐานมากขึ้น ซึ่งทำให้สามารถขึ้นรูปได้ดีกว่าโครงสร้างที่เป็นผลลัพธ์ประกอบกัน และการวิเคราะห์องค์ประกอบทางเคมีพบว่า การไฮโดรไลซิสมีการทำให้องค์ประกอบทางเคมีของไบบูลเปลี่ยนแปลง

5.2 ข้อเสนอแนะ

5.2.1 เนื่องจากไบบูลแท่งที่ใช้ทำการทดลองต้องใช้ไบบูลที่เหมือนกัน เพราะจะนับการจัดหาไบบูลแท่งในแต่ละครั้งนั้น ต้องจัดหาครั้งละมากๆ ซึ่งอาจทำให้เกิดความซื้อขึ้นได้ ส่งผลทำให้ไบบูลแท่งเสียหาย ดังนั้นจึงต้องเก็บไบบูลแท่งไว้ในที่ที่แห้ง

ເອກສາຮອ້າງອີງ

- [1] Kuroaki, F., Koyanaka, H., Tsujimoto, M. and Imamura, Y. (2008). Shapecontrolled multi-porous carbon with hierarchical micro–meso-macro pores synthesized by flash heating of wood biomass. *Carbon*, 46, 850–857.
- [2] Zhao, N., Wu, S., He, C., Shi, C., Liu, E., Du, X. and Li, J. (2012). Hierarchical porous carbon with graphitic structure synthesized by a water soluble template method. *Materials Letters*, 87, 77–79.
- [3] Xia, K., Gao, Q., Jiang, J. and Hu, J. (2008). Hierarchical porous carbons with controlled micropores and mesopores for supercapacitor electrode materials. *Carbon*, 46, 1718–1726.
- [4] Siyasukh, A., Maneeprom, P., Larpkittaworn, S., Tonanon, N., Tanthanapichakoon, W., Tamon, H. and Charinpanitkul, T. (2008). Preparation of a carbon monolith with hierarchical porous structure by ultrasonic irradiation followed by carbonization, physical and chemical activation. *Carbon*, 46, 1309–1315.
- [5] Feng, Z., Kai-Xue, W., Guo-Dong, L. and Jie-Sheng, C. (2009). Hierarchical porous carbon derived from rice straw for lithium ion batteries with high rate performance. *Electrochemistry Communications*, 11, 130–133.
- [6] Wang, L., Guo, Y., Zou, B., Rong, C., Ma, X., Qu, Y., Li, Y. and Wang, Z. (2011). High surface area porous carbons prepared from hydrochars by phosphoric acid activation. *Bioresource Technology*, 102(2), 1947–1950.
- [7] Romero, I., Ruiz, E., Castro, E. and Moya, M. (2010). Acid hydrolysis of olive tree biomass. *Chemical engineering research and design*, 88, 633-640.
- [8] Kim, J. S., Lee, Y. Y. and Torget, R. W. (2001). Cellulose Hydrolysis Under Extremely Low Sulfuric Acid and High-Temperature Conditions. *Humana Press Inc.*
- [9] Lenihan, P., Orozco, A., O'Neill, E. O., Ahmad, M. N. M., Rooney, D. W. and Walker, G. M. (2010). Dilute acid hydrolysis of lignocellulosic biomass. *Chemical Engineering Journal*, 156, 395–403.
- [10] Nahil, M. A. and Williams, P. T. (2012). Pore characteristics of activated carbons from the phosphoric acid chemical activation of cotton stalks. *Biomass and Bioenergy*, 37, 142-149.

- [11] Hsu, L.Y. and Teng, H. (2000). Influence of different chemical reagents on the preparation of activated carbons from bituminous coal. *Fuel Processing Technology*, 64, 155–166.
- [12] Bandosz, T. J., (2006). Activated Carbon Surface in Environmental. ELSEVIER.
- [13] Kim, S. H. (2011). Cellulose in plant cells and lignocellulosic biomass. *Department of Chemical Engineering*.
- [14] สิริกุล วงศ์. (2548). นิทรรศการวิชาการในงานวันเกษตรแห่งชาติ: เกษตรนำชาติ ศาสตร์ ที่ยั่งยืน คืนทรัพยากรถูกชุมชน. ศูนย์วิจัยพืชผักเขตอ่อน มหาวิทยาลัยเกษตรศาสตร์.
- [15] Howard, G.L., Abotsi, E., Rensburg, J. V. and Howard, S. (2003). Lignocellulose Biotechnology: Issues of bioconversion and enzyme production. *African Journal of Biotechnology*, 2.
- [16] จุหารัตน พงษ์โนรี. (2547). การสกัดเชคูลโคสจากซังข้าวโพด. วิทยานิพนธ์ปริญญาโท วิทยาศาสตร์มหบันทิต สาขาวิชาอุตสาหกรรมการเกษตร บัณฑิตวิทยาลัย มหาวิทยาลัยนเรศวร.
- [17] John, P. (1992). Biosynthesis of the Major Crop Products. New York: John Wiley and Sons.
- [18] Ghali, L., Msahli, S., Zidi, M. and Sakli, F. (2009). Effect of Pre-treatment of Luffa fibres on the structural properties. *Materials Letters*, 63, 61–63.
- [19] อนุกุล จันทร์แก้ว, ตะวัน อัตรสุงเนิน และธวัชชัย จิตจาง. (2551). การผลิตเอทานอลจาก การป้องกันสายวัสดุเหลือทิ้งจากอุตสาหกรรมแปรรูปไม้ จังหวัดแพร่. สาขาเทคโนโลยีชีวภาพ มหาวิทยาลัยแม่โจ้-แพร่ เฉลิมพระเกียรติ.
- [20] ผศ.ดร.พิมพ์เพ็ญ พรเฉลิมพงศ์ และศ.ดร.นิธิยา รัตนาปนนท. (2553). เชมิเชลสกูล. Food Network Solution.
- [21] Sing, A. And Mishra, P. (1995). Microbial Pentose Utilization: Current Application in Biotechnology. Amsterdam: Elsevier Science B.V.
- [22] อดิ เซี่ยวชาณวิทย์. (2544). สิกนิน. กระทรวงวิทยาศาสตร์และเทคโนโลยี.
- [23] Zun-li, M., Zhong-li, Z., Hong, C., Gui-ping, N. and Hua-feng, S. (2009). Heterogeneous preparation of cellulose–polyaniline conductive Composites with cellulose activated by acids and its electrical properties. *Carbohydrate Polymers*, 75, 662.
- [24] คณะวิทยาศาสตร์และเทคโนโลยี. อินดิเคเตอร์ เกลือและสารละลายบัฟเฟอร์. มหาวิทยาลัยกรุงเทพ.

- [25] Cabiac, A., Guillona, E., Chambon, F., Pinel, C., Rataboul, F. and Essayem, N. (2011). Cellulose reactivity and glycosidic bond cleavage in aqueous phase by catalytic and non catalytic transformations, *Applied Catalysis A : General*, 402, 1–10.
- [26] Xiang, Q., Lee, Y. Y., Pettersson, P. O. and Torget, R. W. (2003). Heterogeneous Aspects of Acid Hydrolysis of α -Cellulose. *Applied Biochemistry and Biotechnology*, 107, 505-513.
- [27] Scintag, Inc. (1999). **Basics of X-ray Diffraction**. Retrieved March 1, 2013, from www.scintag.com.
- [28] Chauhan, A. and Kaith, B. (2011). X-Ray Diffraction Studies and Assessment of Roselle Graft-Copolymers. *Malaysian Polymer Journal*, 6, 155-164.
- [29] Park, S., Baker, J. O., Himmel, M. E., Parilla, P. A. and Johnson, D. K. (2010). Cellulose crystallinity index: measurement techniques and their impact on interpreting cellulase performance. *Biotechnology for Biofuels*, 3, 10.
- [30] Gurgel, L. V. A., Marabezi, K., Ramos, L. A. and Curvelo, A. A. S. (2012). Characterization of depolymerized residues from extremely low acid hydrolysis (ELA) of sugarcane bagasse cellulose: Effects of degree of polymerization, crystallinity and crystallite size on thermal decomposition. *Industrial Crops and Products*, 36, 560–571.



ภาคผนวก ก

ตัวอย่างการคำนวณร้อยละความเป็นผลีกของเชลลูโลส

ตัวอย่างการคำนวณร้อยละความเป็นผลึกของเซลลูโลส

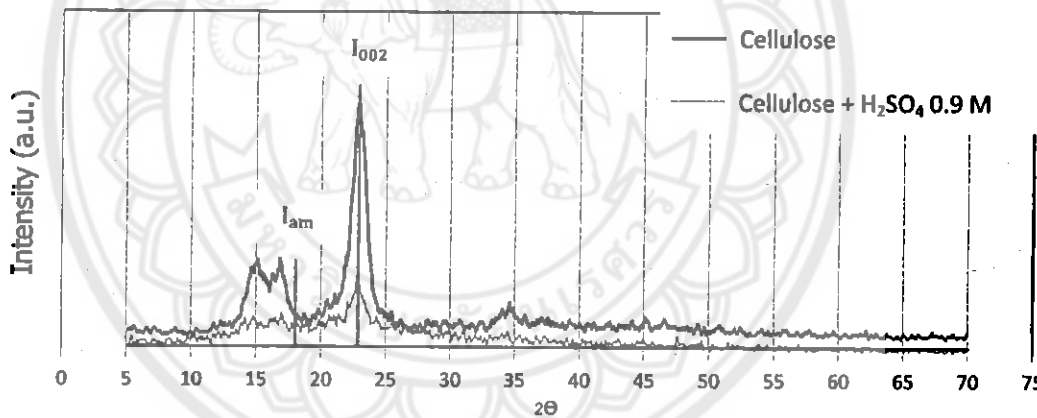
การคำนวณร้อยละความเป็นผลึกของเซลลูโลสสามารถหาได้จากวิธีของกราฟ โดยหาค่า I_{am} และ I_{002} จากกราฟ แล้วนำค่าที่ได้มาคำนวณในสูตรการคำนวณดังนี้ [27]

$$\% \text{ Crystallinity} (\% \text{ Cr}) = \left(\frac{I_{002}}{I_{002} + I_{am}} \right) \times 100 \quad (\text{ก.1})$$

$$\text{Crystallinity Index (C. I.)} = \left(\frac{I_{002} - I_{am}}{I_{002}} \right) \quad (\text{ก.2})$$

เมื่อ I_{002} คือ ความเข้มของรังสีเอ็กซ์ที่ตำแหน่งของกราฟแอลมมากที่สุดหรือมีความเป็นผลึกมากสุด โดย 002 คือ ระนาบที่มีตำแหน่งของกราฟแอลมมากที่สุดหรือมีความเป็นผลึกสูง

I_{am} คือ ความเข้มของรังสีเอ็กซ์ที่ตำแหน่งของสัณฐาน โดยในงานวิจัยต่างๆ ใช้ทรงองศาที่ประมาณ 18 [28, 29]



รูปที่ ก.1 กราฟแสดงวิธีการหาตำแหน่งผลึกและตำแหน่งสัณฐานของ

เริ่มจากปรับฐานกราฟท่องศานเริ่มต้นให้เท่ากัน ให้สามารถเปรียบเทียบความสูงได้ หลังจากนั้นดูที่แนวฐานเพื่อหา ตำแหน่ง I_{002} เป็นจุดสูงสุดของกราฟแล้วหาตำแหน่ง I_{am} โดยในการหาตำแหน่งสัณฐานนี้จำเป็นที่จะต้องหาหลายจุดเนื่องจากข้อมูลมีความถี่ ทำให้เห็นกราฟได้ไม่ชัดเจน จึงต้องใช้ข้อมูลหลายจุดในการคำนวณหาตำแหน่งสัณฐานแล้วจึงหาค่าเฉลี่ย ในทุกตัวอย่างจะใช้วิธีเดียวกันในการคำนวณ จะได้ข้อมูลดังตารางต่อไปนี้

ตารางที่ ก.1 แสดงข้อมูลการคำนวณร้อยละความเป็นผลึกของผงเซลลูโลส

peak	a	b	c	d	e	sum	average	SD
I_{am} (cm)	0.4	0.3	0.25	0.4	0.5			
I_{002} (cm)	5	5	5	5	5			
% Cr	92.59	94.34	95.24	92.59	90.91	465.67	93.13	1.69
C.I.	0.92	0.94	0.95	0.92	0.90	4.63	0.93	0.02

ตารางที่ ก.2 แสดงข้อมูลการคำนวณร้อยละความเป็นผลึกของผงเซลลูโลสที่ไฮโดรไลซิส
ด้วยกรดซัลฟิวริกที่ความเข้มข้น 0.9 มोลาร์

Peak	a	b	c	d	e	sum	average	SD
I_{am} (cm)	0.3	0.2	0.35	0.3	0.3			
I_{002} (cm)	1.7	1.7	1.7	1.7	1.7			
% Cr	85.00	89.47	82.93	85.00	85.00	427.40	85.48	2.41
C.I.	0.82	0.88	0.79	0.82	0.82	4.15	0.83	0.03

ตารางที่ ก.3 แสดงข้อมูลการคำนวณร้อยละความเป็นผลึกของไยบราบ

peak	a	b	c	d	e	sum	average	SD
I_{am} (cm)	0.5	0.3	0.25	0.4	0.35			
I_{002} (cm)	1.65	1.65	1.65	1.65	1.65			
% Cr	76.74	84.62	86.84	80.49	82.50	411.19	82.24	3.88
C.I.	0.70	0.82	0.85	0.76	0.79	3.91	0.78	0.06

ตารางที่ ก.4 แสดงข้อมูลการคำนวณร้อยละความเป็นผลึกของไยบราบที่ไฮโดรไลซิส
ด้วยกรดซัลฟิวริกที่ความเข้มข้น 0.9 มोลาร์

peak	a	b	c	d	e	sum	average	SD
I_{am} (cm)	0.4	0.7	0.35	0.5	0.5			
I_{002} (cm)	1.7	1.7	1.7	1.7	1.7			
% Cr	80.95	70.83	82.93	77.27	77.27	389.26	77.85	4.62
C.I.	0.76	0.59	0.79	0.71	0.71	3.56	0.71	0.08

โดยที่ตำแหน่ง a, b, c, d และ e ของทุกรูป คือตำแหน่งอันฐานของแต่ละรูป ซึ่งอยู่ในช่วงประมาณองศาที่ 18 แล้วนำมาหาค่าเฉลี่ย

